

بررسی زمین‌ساخت فعال با استفاده از شاخص‌های ژئومورفولوژی در البرز غربی و مرکزی

علی یاوری‌فرد- کارشناسی ارشد تکنونیک، دانشگاه خوارزمی تهران
مریم ده بزرگی* - استادیار گروه زمین‌شناسی، دانشکده علوم پایه، دانشگاه خوارزمی تهران
رضا نوزعیم - استادیار گروه زمین‌شناسی، پردیس علوم، دانشگاه تهران
سعید حکیمی آسیابر - استادیار گروه زمین‌شناسی، دانشکده علوم پایه، دانشگاه آزاد اسلامی واحد لاهیجان
دنیا رابطی - کارشناس ارشد تکنونیک، دانشگاه خوارزمی تهران

پذیرش مقاله: ۱۳۹۸/۱۲/۱۹ تائید نهایی: ۱۳۹۹/۰۶/۲۶

چکیده

بسیاری از سیماهای کنونی زمین طی رخدادهای جوان زمین‌ساختی شکل گرفته‌اند. تحلیلهای مورفوتکتونیکی ابزار سودمندی جهت شناسایی اشکال ایجاد شده بر روی زمین هستند. هدف از این مطالعه بررسی فعالیت زمین‌ساختی اخیر در حوضه‌های آبریز طالقان- الموت و بخشی از حوضه‌های آستانه و منجیل با استفاده از هفت شاخص ژئومورفولوژی ناهنجاری سلسله مراتبی (Δa ، انشعابات (R)، انتگرال و منحنی فرازنجدی (H_i)، بر جستگی نسبی (Bh)، تراکم زهکشی (Dd)، ضریب شکل (Ff) و گرادیان طولی رود (SL) می‌باشد. گستره مورد بررسی در البرز غربی و مرکزی واقع شده است. جهت انجام این پژوهش از نقشه‌های زمین‌شناسی، مدل رقومی ارتفاعی، تصاویر ماهواره‌ای و نرم‌افزار ArcGIS جهت استخراج ساختارهای اصلی منطقه، آبراهه‌ها و زیرحوضه‌ها استفاده شده است و سپس به محاسبه شاخص پرداخته شد و برای هر شاخص نقشه پهنه‌بندی تهیه گردید. در نهایت سطح فعالیت زمین‌ساختی کل بر مبنای شاخص زمین‌ساخت فعال نسبی (Iat) به دست آمد و رده‌بندی شد. نتایج حاصل از این پژوهش نشان می‌دهد که به طور کلی فعالیت زمین‌ساختی نسبی اخیر منطقه بالا و بسیار بالاست که به دلیل فعالیت گسل‌های سفیدخانی، طالقان، الموت‌رود- شاهروود، خشچال، انگول، جیرنده، روبار، بخش‌هایی از گسل‌های خارخون و بلوکان، بخش شرقی پهنه گسلی منجیل و گسل‌های واقع در شرق منطقه می‌باشد. در حدود ۳۵ درصد (۱۷۴۸ کیلومتر مربع) از گستره مطالعاتی فعالیت زمین‌ساختی بسیار بالا و حدود ۵۳ درصد (۲۶۸۴ کیلومتر مربع) فعالیت زمین‌ساختی بالا را دارا می‌باشد. محاسبه کمی شاخص‌های ریخت‌سنگی و تجزیه و تحلیل آن‌ها با ساختارهای واقع در منطقه، زمین‌لرزه‌های رخ داده، لندفرم‌های مختلف و شواهد صحرایی مانند گسلش در واحدهای کواترنری، کج‌شده‌گی واحدهای پادگانه آبرفتی، تنگدردها و سطوح مثلثی فعالیت نو زمین- ساختی اخیر این منطقه را تایید می‌کند و نشانگر صحبت نتایج حاصل از این پژوهش می‌باشد. پیشنهاد می‌شود از ساخت و ساز در حریم گسل‌هایی که در این مطالعه فعال شناخته شده‌اند، جلوگیری شود.

وازگان کلیدی: زمین‌ساخت فعال، شاخص ریخت‌سنگی، گسل، حوضه زهکشی، البرز.

مقدمه

رشته کوه البرز در شمال ایران، منطقه‌ای با تغییر شکل فعال در درون ناحیه وسیع برخورد عربی- اوراسیائی می‌باشد و به سه بخش شرقی، مرکزی و غربی تقسیم‌بندی می‌شود. گستره مورد مطالعه که شامل حوضه‌های آبریز طالقان- الموت و بخشی از حوضه‌های آستانه و منجیل می‌باشد، در البرز غربی و مرکزی واقع گردیده است. گسل‌های فعال متعددی به موازات کوه‌های البرز وجود دارد و لرزه‌خیزی کوه‌های البرز نشان‌گر ادامه جنبش‌های کوه‌زایی در این گستره است (آلن^۱ و همکاران^۲، ۲۰۰۳: ۶۵۹-۶۷۲). بنابراین بررسی این پهنه به لحاظ سطح فعالیت زمین‌ساختی سودمند می‌باشد. زمین سیستمی پویاست و تغییر و تحول از جمله ویژگی‌های آن می‌باشد. تقریباً هیچ ناحیه‌ای را در جهان نمیتوان یافت که تحت تاثیر تغییرات تکتونیکی قرار نگرفته باشد. معمولاً دگرگشکلی‌های سطح زمین به آرامی و در بیش از هزاران سال رخ می‌دهند و برای تشخیص فعالیت‌هایی که مسبب دگرگشکلی هستند نیاز داریم به بررسی لندرفم‌هایی پیردازیم که تغییرات را در طی سال‌ها در خود حفظ کرده‌اند (فوسن^۳، ۲۰۱۶: ۴۸۱). شاخص‌های ژئومورفیکی برای مطالعه زمین‌ساختی مفید می‌باشند و از این شاخص‌ها برای ارزیابی سریع فعالیت تکتونیکی در یک ناحیه خاص استفاده می‌شود (جباری و همکاران، ۱۳۹۱: ۱۷-۳۴). مورفومتری به معنی اندازه‌گیری کمی شکل چشم‌اندازهای روی زمین است. اندازه‌گیری‌های کمی امکان مقایسه عینی زمین‌ریخت‌های مختلف و محاسبه متغیرهای کمتر قابل فهم را فراهم و شناسایی ویژگی‌های خاص مانند سطح فعالیت زمین‌ساختی یک منطقه را امکان‌پذیر می‌سازد (علی‌پور و همکاران، ۱۳۹۷: ۳۱-۵۶). فرآیندهای زمین‌ساخت فعال بر شکل و عملکرد رودخانه‌ها تاثیر می‌گذارد. بنابراین بررسی رودهای، برش و انحراف رودخانه‌ها، اطلاعات مهمی در مورد گسترش و تکامل چین‌ها و گسل‌های منطقه فراهم می‌آورد. از طرفی حفر سنگ بستر رودخانه‌ها که به طور عمده توسط فرآیندهای زمین‌ساختی صورت می‌گیرد، موجب ایجاد تغییر شکل و توپوگرافی رودخانه‌ها می‌شود (واکر^۴، ۲۰۰۶: ۵۴-۶۶). نگاپنا و همکاران^۵ (۲۰۲۰)، تکتونیک فعل نسبی در منطقه ایدیا اسکا در جنوب غرب کامرون، آفریقای مرکزی را مورد بررسی قرار دادند و به این نتیجه دست یافتند که فعالیت مجدد گسل‌هایی که در این منطقه واقع شده‌اند، موجب ایجاد زلزله شده و این منطقه از نظر تکتونیکی فعل می‌باشد. گارسیا و والندیا^۶ (۲۰۲۰) به بررسی زمین‌ساخت فعل در منطقه سن لوکاس در کوردیرلای مرکزی با استفاده از شاخص‌های مورفومتری پرداختند و به این نتیجه دست یافتند که فعالیت گسل‌های سیمیتی- سان بلاس و گسل‌های با روند شمال غرب- جنوب شرق موجب ایجاد بیشترین فعالیت تکتونیکی و بالاً‌مدگی در منطقه شده است. رابطی و همکاران (۱۳۹۷)، زمین‌ساخت فعل در حوضه سپیدرود واقع در البرز غربی را با استفاده از شاخص‌های ریخت‌سنگی مورد مطالعه را قرار دادند و به این نتیجه دست یافتند که در زیر‌حوضه‌های منطبق بر گسل‌های منجیل، جیرنده، درفک و دیلمان و همچنین مناطق با تراکم گسلی بالا شاخص‌های اندازه‌گیری شده مقادیر بالایی را نشان می‌دهند که نشان‌دهنده تأثیر گسل‌های مذکور و فعالیت زمین‌ساختی نسبی اخیر بالای منطقه می‌باشد. حاجی کریمی و همکاران (۱۳۹۹) به ارزیابی تکتونیک فعل حوضه آبخیز کرگانرود در دامنه شرقی تالش (بغرودادغ) با استفاده از شاخص‌های ژئومورفیک پرداختند. نتایج حاصل از این تحقیق نشان داد که حوضه کرگانرود در کلاس فعالیت‌های نئوتکتونیکی زیاد قرار دارد. شواهد ژئومورفولوژیکی به دست آمده مانند پادگانه‌های رودخانه‌ای ارتفاع یافته، وجود تراس‌های قدیمی و آبراهه‌های عمیق شده و دره‌های ۷ شکل نتایج تحقیق را تأیید می‌کند. از دیگر کارهای انجام شده در زمینه ریخت زمین‌ساخت میتوان به مطالعات بابایی و همکاران (۱۳۹۸) در حوضه‌های ناحیه مراغه و شفیعی و همکاران (۱۳۹۹) در حوضه آبخیز دشت بیرجند اشاره کرد.

¹. Allen et al

². Fossen

³ Walker

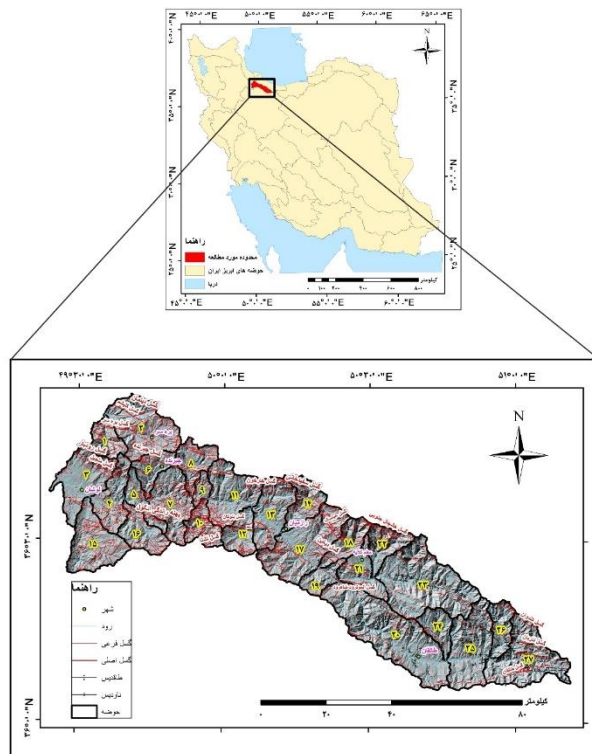
⁴ Ngapna et al

⁵. Garcia and Velandia

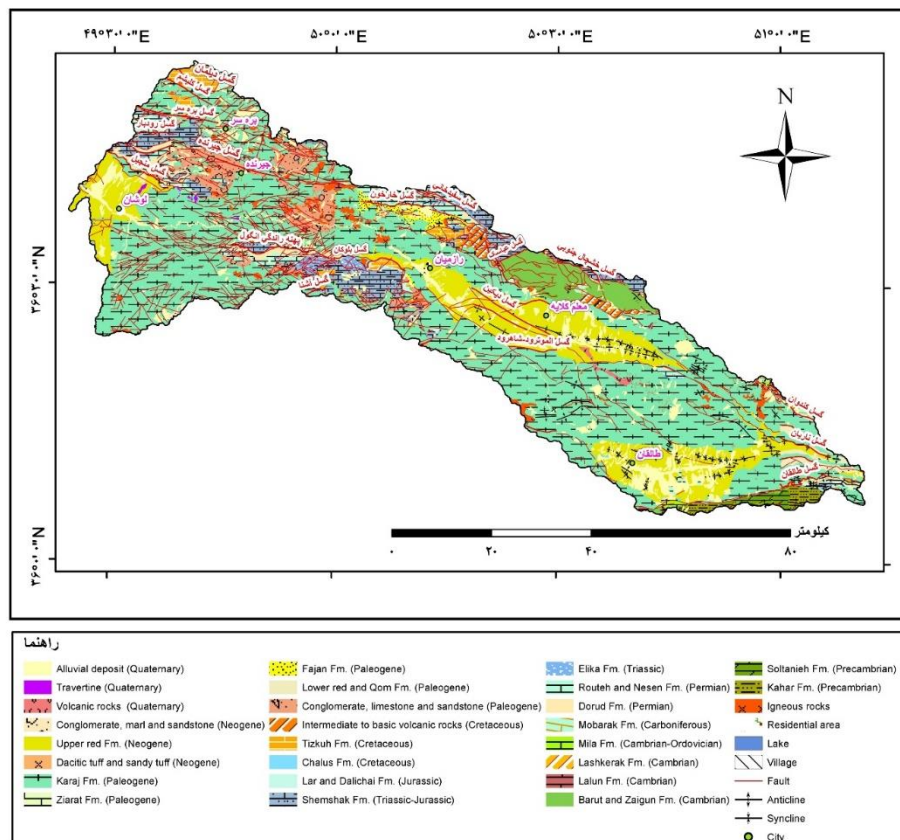
از آنجا که تاکنون مطالعات دقیقی جهت بررسی ارتباط بین زمین‌ساخت فعال و ژئومورفولوژی در منطقه مورد مطالعه صورت نگرفته است، بنابراین بررسی مورفومتری به منظور شناسایی تأثیر زمین‌ساخت فعال بر تکامل تکتونیکی حوضه‌های زهکشی و رودخانه‌های منطقه ضروری به نظر می‌رسد زیرا تعیین آنماهی‌های حاصل از زمین‌ساخت فعال در رودها با استفاده از شاخص‌های ژئومورفولوژی می‌تواند آشکارکننده ساختارهای فعال در منطقه باشد. شناسایی ساختارهای فعال به ما کمک می‌کند که از ساخت و ساز در این مکان‌ها خودداری کرده و بتوانیم تا حدود زیادی از خسارات مالی و جانی ناشی از فعالیت گسل‌ها و زلزله‌ها جلوگیری کنیم. هدف از این پژوهش تعیین زمین‌ساخت فعال در حوضه‌های آبریز طالقان-موت و بخشی از حوضه‌های آستانه و منجیل با استفاده از هفت شاخص ژئومورفولوژی ناهنجاری سلسه مراتبی (Δa ، انشعبات (R)، انتگرال و منحنی فرازستجی (Hi))، بر جستگی نسبی (Bh)، تراکم زهکشی (Dd)، ضریب شکل (Ff) و گرادیان طولی رود (SL) می‌باشد. در نهایت نیز سطح فعالیت زمین‌ساختی کل منطقه با استفاده از شاخص زمین‌ساخت فعال نسبی (Iat) محاسبه شده و همراه با ساختارهای منطقه و مشاهدات صحرایی، مورد تجزیه و تحلیل قرار می‌گیرد.

منطقه مورد مطالعه

منطقه مورد مطالعه با مساحت ۵۰۴۷,۴۳ کیلومتر مربع در شمال ایران و در بخش‌هایی از استان‌های گیلان، قزوین، مازندران و البرز واقع شده است و زیرحوضه‌های آبریز طالقان-موت و بخشی از زیرحوضه‌های آستانه و منجیل را در بر می‌گیرد که این زیرحوضه‌ها جزو حوضه آبریز سفیدرود می‌باشند (شکل ۱). این منطقه در محدوده نقشه‌های زمین-شناسی ۱:۱۰۰۰۰ جواهرده، جیرنده، روبار، قزوین، تاکستان، شکران، مرزن آباد و رامسر قرار گرفته و شهرهای جیرنده، لوشان، بره سر، رازمیان، معلم کلاچه و طالقان در این منطقه قرار دارند. گسل‌های متعددی در منطقه واقع شده که شامل گسل‌های دیلمان، کلیشم، بره سر، سفیدخانی، طالقان، الموت‌رود-شاهروود، خشچال، انگول، جیرنده، روبار، خارخون، بلوکان، آشنا، منجیل، عباسک، دیکین، خشچال جنوبی، کندوان و ناریان می‌باشد (شکل ۲).



شکل ۱: نقشه ساختاری گستره مورد مطالعه.



شکل ۲. نقشه زمین‌شناسی گستره مطالعه (برگرفته از نقشه‌های زمین‌شناسی ۱:۱۰۰۰۰۰ جواهرد، جیرنده، روذبار، قزوین، تاکستان، شکران، مرزن آباد و رامسر، سازمان زمین‌شناسی و اکتشافات معدنی کشور)

روش تحقیق

با استفاده از مدل رقومی ارتفاعی (DEM) می‌توان ویژگی‌ها و شاخص‌های رودخانه‌ای را به طور دقیق استخراج کرد و به تحلیل حوضه‌های زهکشی پرداخت (متیوس و وانگ^۱، ۲۰۰۶: ۲۶-۲۱). در این مطالعه به منظور تعیین فعالیت زمین‌ساختی با استفاده از شاخص‌های مورفومتری در گستره مورد مطالعه، در ابتدا حوضه‌های زهکشی و آبراهه‌ها با استفاده از مدل ارتفاعی رقومی (DEM) ۳۰ متر در محیط نرم‌افزار ArcGIS 10.1 و به کارگیری افزونه جانبی نرم‌افزار GIS Arc Hydro، استخراج گردید و منطقه مورد مطالعه به ۲۷ زیرحوضه تقسیم شد و برای هر زیرحوضه به صورت مجزا هفت شاخص مورفومتری ناهنجاری سلسله مراتبی، انشعابات، انتگرال و منحنی فرازستنجی، برجستگی نسبی، تراکم زهکشی، ضربی شکل و گرادیان طولی رود مورد محاسبه قرار گرفت. برای تمامی شاخص‌ها نقشه پهنه‌بندی رسم شد و از لحاظ فعالیت زمین‌ساختی به ۳ رده طبقه‌بندی گردید. در مرحله بعد، به منظور تعیین ساختارهای اصلی و واحدهای زمین‌شناسی منطقه از داده‌های صحرایی، نقشه‌های زمین‌شناسی با مقیاس ۱:۱۰۰۰۰۰ سازمان کشور و تصاویر ماهواره‌ای استفاده گردید. در نهایت برای تعیین سطح فعالیت زمین‌ساختی کل منطقه، شاخص زمین‌ساخت فعال نسبی (Δa) محاسبه و نقشه پهنه‌بندی این شاخص نیز در مقیاس خوبه رسم و از لحاظ فعالیت زمین‌ساختی به ۴ رده تقسیم‌بندی شد. سپس ساختارهای اصلی و واحدهای زمین‌شناسی منطقه با نتایج حاصل از اندازه‌گیری کمی شاخص‌های مورفومتری و مشاهدات صحرایی مورد تجزیه و تحلیل قرار گرفت.

بحث و یافته‌های تحقیق شاخص ناهنجاری سلسله مراتبی^۲ (Δa)

شاخص ناهنجاری سلسله مراتبی براساس تعداد ناهنجاری سلسله مراتبی محاسبه می‌شود. زمانی که یک آبراهه به یک رده بالاتر از خود وارد می‌شود، نظم سلسله مراتبی دارد، برای مثال هر آبراهه رده ۱ که به آبراهه رده ۲ وارد شود دارای نظم سلسله مراتبی است (هورتن^۳: ۱۹۴۵-۲۷۰). اگر این ترتیب رعایت نشود و یک رده آبراهه به آبراهه‌ای با دو یا چند رده بالاتر از خود وارد شود، ناهنجاری سلسله مراتبی رخ می‌دهد (شکل ۳). تعداد ناهنجاری سلسله مراتبی از رابطه (۱) محاسبه می‌شود (سیکاسی و همکاران^۴: ۱۹۸۶-۴۳):

$$Ha_{i \rightarrow j} = 2^{(j-2)} - 2^{(i-1)} \quad (1)$$

در این رابطه (Ha) تعداد ناهنجاری سلسله مراتبی، (i) رده آبراهه پایین‌تر و (j) رده آبراهه بالاتر است. پس از تعیین تعداد ناهنجاری سلسله مراتبی برای هر رده، تعداد ناهنجاری سلسله مراتبی کل حوضه با رابطه (۲) محاسبه می‌شود:

$$Ha_t = \sum (Ha_{i \rightarrow j} \times Ns_{i \rightarrow j}) \quad (2)$$

در رابطه (۲)، (j-i) تعداد آبراهه‌هایی است که به آبراهه‌های بالاتر از خود وارد شده‌اند. با استفاده از تعداد ناهنجاری سلسله مراتبی کل حوضه، شاخص ناهنجاری سلسله مراتبی به صورت زیر (رابطه ۳) محاسبه می‌شود:

$$\Delta a = Ha_t / N_1 \quad (3)$$

در رابطه (۳)، (Δa) شاخص ناهنجاری سلسله مراتبی و (N_1) تعداد کل آبراهه‌های رده ۱ حوضه است. شاخص ناهنجاری سلسله مراتبی یکی از شاخص‌های مهم تعیین میزان نقش تکتونیک در ناهنجاری شبکه زهکشی است، به طوری که هر

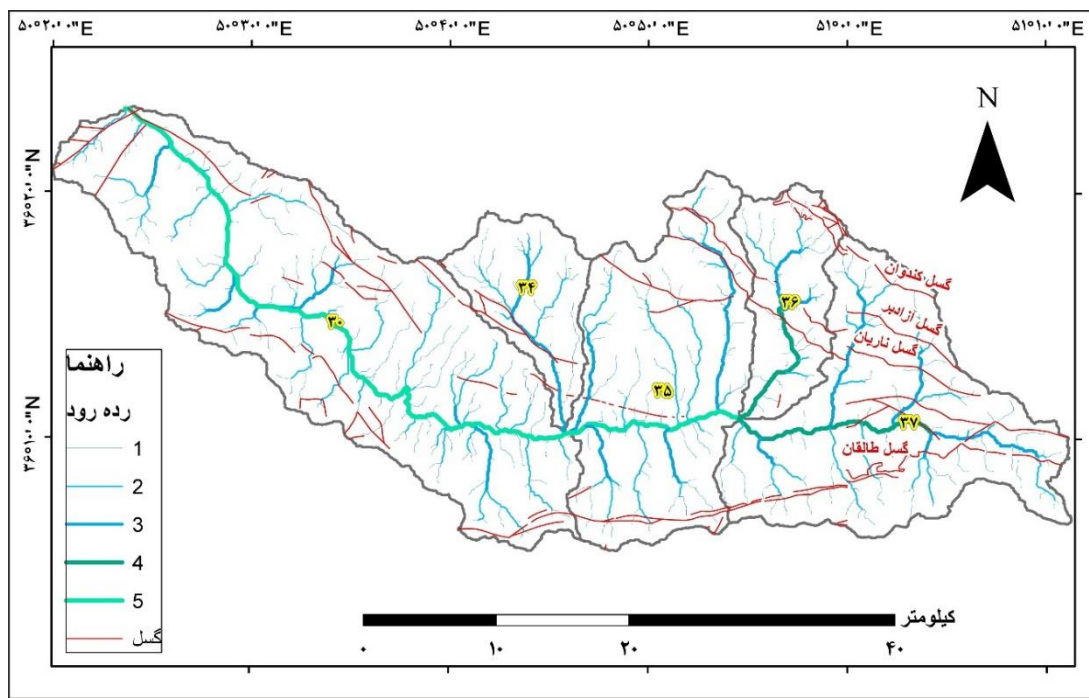
¹. Maathuis and Wang

². Hierarchical anomaly index

³. Horton

⁴. Ciccacci et al

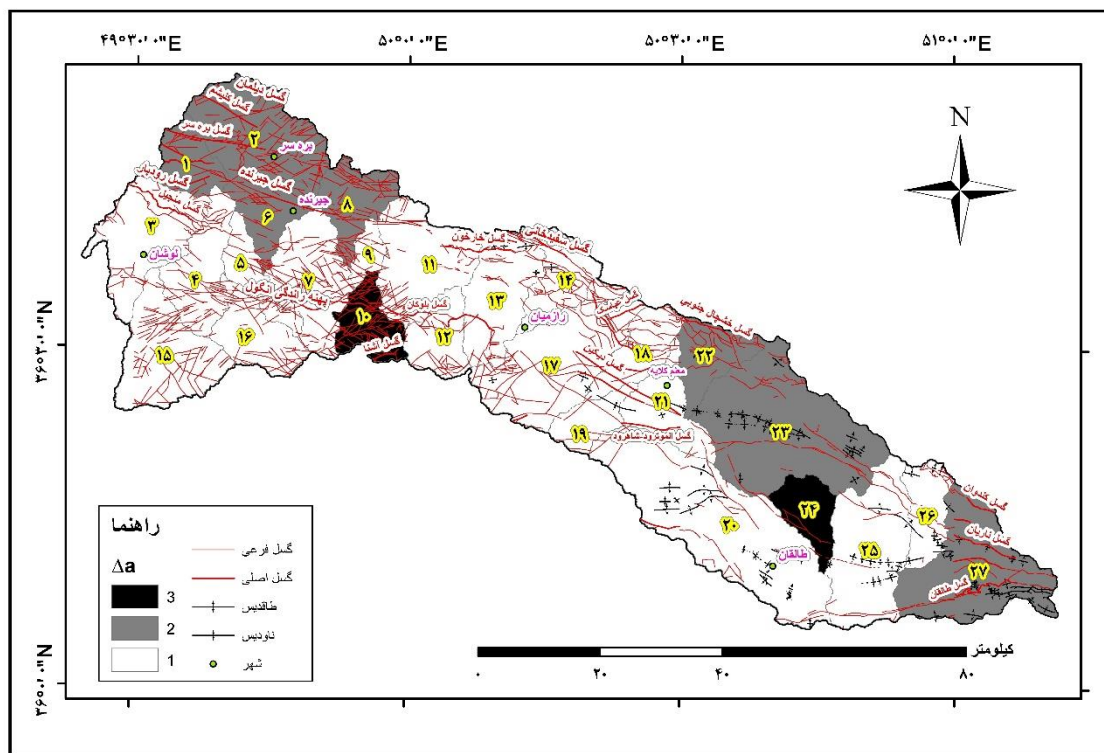
چه میزان این شاخص در حوضه‌ها بیشتر باشد، نشان‌دهنده ناهنجاری بیشتر شبکه زهکشی یا تأثیر بیشتر زمین‌ساخت بر سیستم آبراهه‌های حوضه است (پهرامی، ۱۳۹۴: ۳۴-۱۵).



شکل ۳: شبکه آبراهه در حوضه‌های ۲۰، ۲۴، ۲۵، ۲۶ و ۲۷ و افزایش ناهنجاری سلسله مراتبی در محل تلاقی گسل با آبراهه

این شاخص به لحاظ فعالیت زمین‌ساختی در ۳ رده طبقه‌بندی شده است (گارنیری و پیروتا^۱، ۲۰۰۸: ۲۶۰-۲۷۳)؛ رده ۱ شامل مقادیر ۱ و بیشتر ($\Delta a \geq 1$) فعالیت بالای زمین‌ساختی را نشان می‌دهد، رده ۲ شامل مقادیر $0.5 < \Delta a \leq 1$ که نشان‌گر فعالیت متوسط زمین‌ساختی و رده ۳ شامل مقادیر کمتر از $0.5 < \Delta a \leq 1$ که بیان‌گر حوضه‌های با فعالیت زمین‌ساختی کم است (شکل ۴). در گستره مورد مطالعه مقادیر بالای مربوط به این شاخص در حوضه ۹ با مقدار $6/91$ به علت عملکرد گسل جیرنده، حوضه $19/6$ به علت عملکرد گسل‌های الموت رود-شاہرود و دیکین و حوضه‌های ۳ و ۴ به علت عملکرد گسل‌های منجیل و انگول مشاهده می‌شود که رده یک فعالیت زمین‌ساختی را دارا هستند (جدول ۱). فعالیت گسل‌های دیلمان، کلیشم، بره سر، جیرنده، خشچال جنوبی، ناریان و طالقان موجب فعالیت متوسط زمین‌ساختی در حوضه‌های ۱، ۲، ۸، ۱۰، ۲۲، ۲۳، ۲۶ و ۲۷ شده است. کمترین فعالیت زمین‌ساختی شاخص ناهنجاری سلسله مراتبی نیز مربوط به حوضه $10/3$ با مقدار 0.31 می‌باشد که رده ۳ فعالیت را دارا هستند.

¹. Guarnieri and Pirrotta



شکل ۴: نقشه پراکندگی مقادیر شاخص ناهنجاری سلسله مراتبی در گستره مطالعاتی

شاخص انشعبابات^۱ (R)

شاخص انشعبابات از دیگر شاخص‌های تعیین ناهنجاری سیستم زهکشی در حوضه‌های آبریز است. شاخص انشعبابات به ناهنجاری سلسله مراتبی وابسته است و اطلاعات مفیدی درمورد نوع فرآیند فرسایشی و درجه تکامل حوضه زهکشی ارائه می‌دهد (گارنیری و پیروتا^۲، ۲۰۰۸؛ ۲۶۰-۲۷۳). شاخص انشعبابات، از اختلاف بین نسبت انشعبابات و نسبت مستقیم انشعبابات محاسبه می‌شود (رابطه ۴):

$$R = R_b - R_{db} \quad (4)$$

در این رابطه، (R) شاخص انشعبابات، (R_b) نسبت مستقیم انشعبابات و (R_{db}) نسبت انشعبابات می‌باشد. نسبت انشعبابات برای هر رده در یک حوضه از رابطه (۵) محاسبه می‌شود:

$$R_b(u \rightarrow u+1) = N_u / N_{u+1} \quad (5)$$

در رابطه (۵)، (N_u) تمام انشعبابات یک رده و (N_{u+1}) تمام انشعبابات یک رده بالاتر است. هرچه ساختارهای زمین‌شناختی کمتر دچار تغییر شده باشند و الگوی زهکشی به حالت طبیعی خود باقی بماند، نسبت انشعبابات در حوضه پایین خواهد بود (استراهله^۳، ۱۹۶۴؛ ۳۹-۴). نسبت مستقیم انشعبابات برای هر رده به صورت زیر (رابطه ۶) محاسبه می‌شود (آونا و همکاران^۴، ۱۹۶۷-۷۸۱):

¹. Bifurcation index

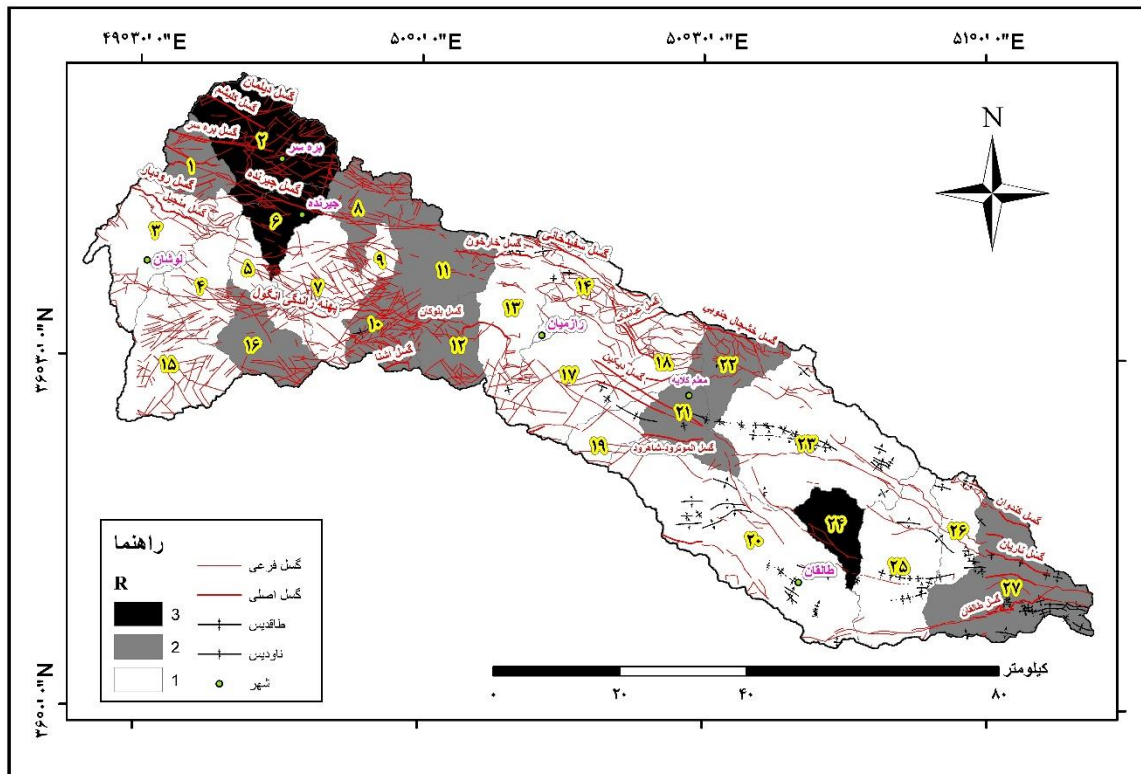
². Guarneri and Pirrotta

³. Strahler

⁴. Avena et al

$$R_{db} = N_{du} / N_{u+1} \quad (6)$$

در رابطه (۶)، (N_{du}) تعداد انشعابات یک رده که به آبراهه‌های رده بالاتر از خود می‌ریزند و (N_{u+1}) تعداد انشعابات یک رده بالاتر است. در هر حوضه برای رده‌های مختلف نسبت انشعابات جمع شده و میانگین گرفته می‌شود. همچنین این کار برای نسبت مستقیم انشعابات نیز انجام می‌گیرد و در نهایت شاخص انشعابات محاسبه می‌شود. این شاخص به لحاظ فعالیت زمین‌ساختی به صورت زیر طبقه‌بندی شده است: رده ۱ شامل مقادیر ۱ و بیشتر ($1 \geq R$) که فعالیت بالای زمین‌ساختی را نشان می‌دهد، رده ۲ شامل مقادیر $0.5 > R \geq 0.0$ تا 1 که نشان‌گر فعالیت متوسط زمین‌ساختی است و رده ۳ شامل مقادیر کمتر از $0.5 > R$ که بیان‌گر حوضه‌های با فعالیت زمین‌ساختی کم است (شکل ۵). این شاخص در حوضه ۱۷ با مقدار $1/91$ به دلیل فعالیت گسل‌های دیکین و عباسک، حوضه ۷ با مقدار $1/76$ به دلیل فعالیت گسل انگول، و حوضه ۳ با مقدار $1/69$ به دلیل فعالیت گسل منجیل بیشترین مقادیر را نشان می‌دهد (جدول ۱). همچنین گسل‌های سفیدخانی، الموت-شاہروود، روبار با فعالیت خود موجب شده‌اند مقادیر بالایی از شاخص انشعابات و رده یک فعالیت زمین‌ساختی را در حوضه‌های واقع در این گسل‌ها شاهد باشیم. کمترین مقدار فعالیت زمین‌ساختی نیز مربوط به حوضه‌های ۲، ۶ و ۲۴ می‌باشد.



شکل ۵: نقشه پراکندگی مقادیر شاخص انشعابات در گستره مطالعاتی.

انتگرال و منحنی فرازسنگی (Hi)

انتگرال فرازسنگی پراکندگی ارتفاع را در یک ناحیه خاص مشخص می‌کند. این شاخص، توزیع نسبی ارتفاع در یک منطقه و حوضه آبریز را نشان می‌دهد (استراهلر^۱، ۱۹۵۲: ۱۱۱۷-۱۱۴۲). تحلیل فرازسنگی به عنوان یک شاخص برای مراحل

¹. Hypsometric integral and curve

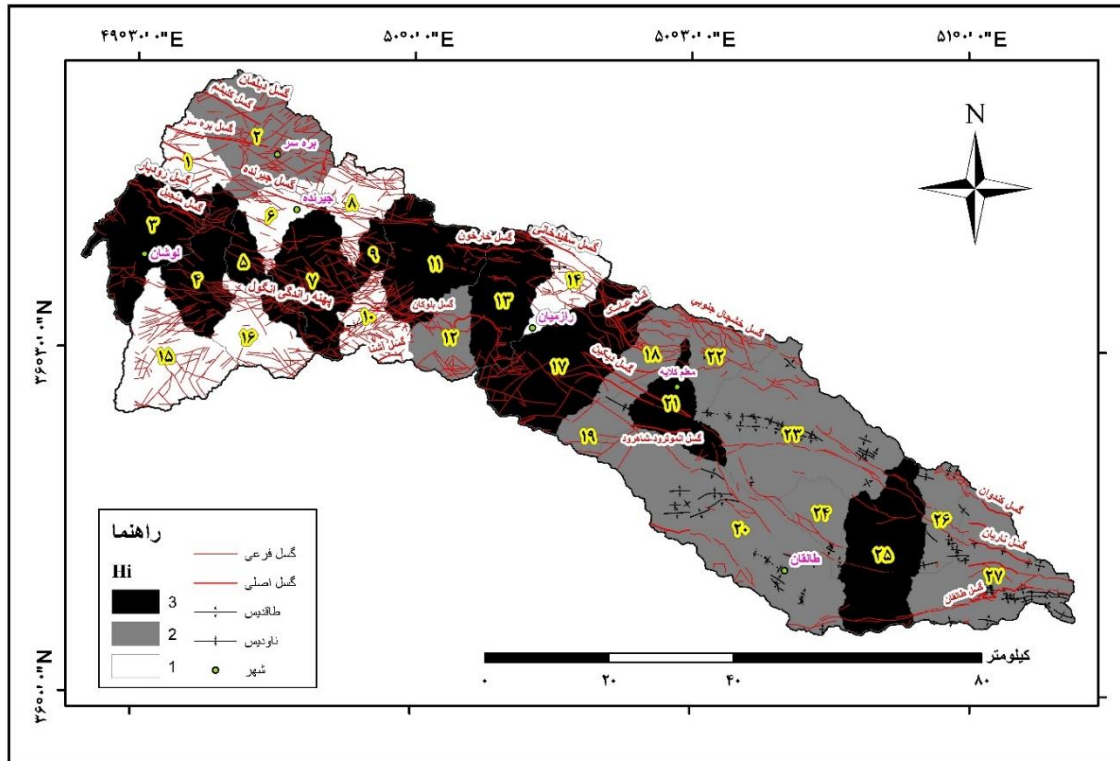
². Strahler

فرسایش حوضه‌های زهکشی به کار برده می‌شود و مقادیر بالای این شاخص نشان‌دهنده نواحی فعال و جوان و مقادیر پایین آن با نواحی قدیمی که فرایند فرسایش بر آن‌ها حاکم است و کمتر تحت تأثیر زمین‌ساخت فعال منطقه است، مرتبط هستند (سینگ^۱، ۲۰۰۹: ۵۹–۵۳). انتگرال فرازسنگی حوضه آبریز با استفاده از مساحت سطح زیرین منحنی فرازسنگی به دست می‌آید و از رابطه (۷) محاسبه می‌شود (مایر^۲، ۱۹۹۰: ۲۷۱):

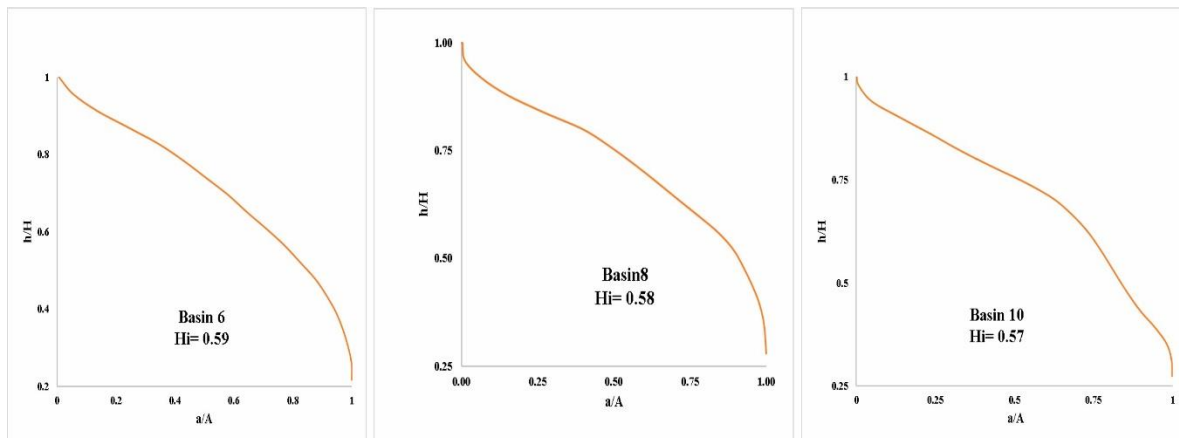
$$Hi = (\text{average elevation} - \text{min elevation}) / (\text{max elevation} - \text{min elevation}) \quad (7)$$

منحنی فرازسنگی شامل رسم نسبت ارتفاعی در برابر نسبت مساحت و محاسبه مساحت زیر منحنی است. این منحنی مستقل از اندازه حوضه و برآمدگی است. با توجه به همین ویژگی این منحنی‌ها در حوضه‌هایی با اندازه، ارتفاع و مساحت متفاوت جهت مقایسه با یکدیگر استفاده می‌شوند. این منحنی از ترسیم مساحت نسبی (a/A) در محور افقی به ارتفاع نسبی (h/H) در محور عمودی حاصل می‌شود. مساحت کلی حوضه (A) و ارتفاع کل (H) در طول خطوط توپوگرافی به سطوح (a) و ارتفاعات (h) تقسیم می‌شود. سطح (a) شامل مساحتی از حوضه است که بالای ارتفاع (h) قرار دارد (استراهлер^۳، ۱۹۵۲: ۱۱۱۷–۱۱۴۲). با توجه به مقادیر حاصل از محاسبه این شاخص در تمامی حوضه‌های واقع در منطقه مورد مطالعه، شاخص انتگرال فرازسنگی به لحاظ فعالیت زمین‌ساختی به ۳ رده طبقه‌بندی شده است (الحمدونی و همکاران^۴، ۲۰۰۸: ۱۵۰–۱۵۰): رده ۱ با فعالیت بالا و مقادیر انتگرال فرازسنگی $0/5 < Hi \leq 0/4$ ، رده ۲ با فعالیت متوسط و مقادیر انتگرال فرازسنگی $0/4 < Hi \leq 0/5$ تا $0/5 < Hi \leq 0/6$ و رده ۳ با فعالیت کم و مقادیر انتگرال فرازسنگی کمتر از $0/6 < Hi$. این شاخص در حوضه ۶ و ۸ با مقادیر $0/59$ و $0/58$ به دلیل فعالیت گسل‌های جیرنده رو دیار، حوضه ۱۰ با مقدار $0/57$ به دلیل فعالیت گسل انگول و حوضه ۱۶ با مقدار $0/55$ به دلیل فعالیت گسل‌های موجود بیشترین مقادیر را نشان می‌دهد. همچنین حوضه ۱ به دلیل فعالیت گسل رو دیار و بره سر، حوضه ۱۴ به دلیل فعالیت گسل سفیدخانی و حوضه ۱۵ به دلیل گسل‌های واقع در غرب منطقه، رده یک فعالیت زمین‌ساختی را دارا هستند (شکل ۶). منحنی فراز سنگی با توجه به شکل و میزان تحدب و تقریب به سه رده از لحاظ فعالیت زمین‌ساختی تقسیم می‌شود: رده ۱ مربوط به منحنی فرازسنگی محدب و جوان با فعالیت زمین‌ساختی بالا است. این رده از منحنی‌های فرازسنگی که مقادیر بالایی دارند نشان‌دهنده توپوگرافی بالا نسبت به مقدار میانگین آن در حوضه هستند، مانند سطوح بالا آمده و فلاحت‌هایی که توسط رودها بریده شده‌اند. رده ۲ مربوط به منحنی فرازسنگی محدب–مقعر و بالغ با فعالیت زمین‌ساختی متوسط است. این رده حد واسطه رده ۱ و ۳ است. رده ۳ مربوط به منحنی فرازسنگی مقعر و فرسوده با فعالیت زمین‌ساختی پایین است. این رده نشان‌دهنده بریده شدن شبکه زهکشی در یک سطح هموارتر است. در شکل (۷) منحنی فرازسنگی حوضه‌های ۶، ۸ و ۱۰ که دارای رده ۱ فعالیت زمین‌ساختی هستند آمده است که به صورت محدب شکل می‌باشند.

¹. Singh². Mayer³. Strahler⁴. El Hamdouni et al



شکل ۶: نقشه رده‌بندی شاخص فرازسنگی در گستره مطالعاتی



شکل ۷: منحنی بیسینه فرازسنگی در حوضه‌های شماره ۶، ۸ و ۱۰

برجستگی نسبی^۱ (Bh)

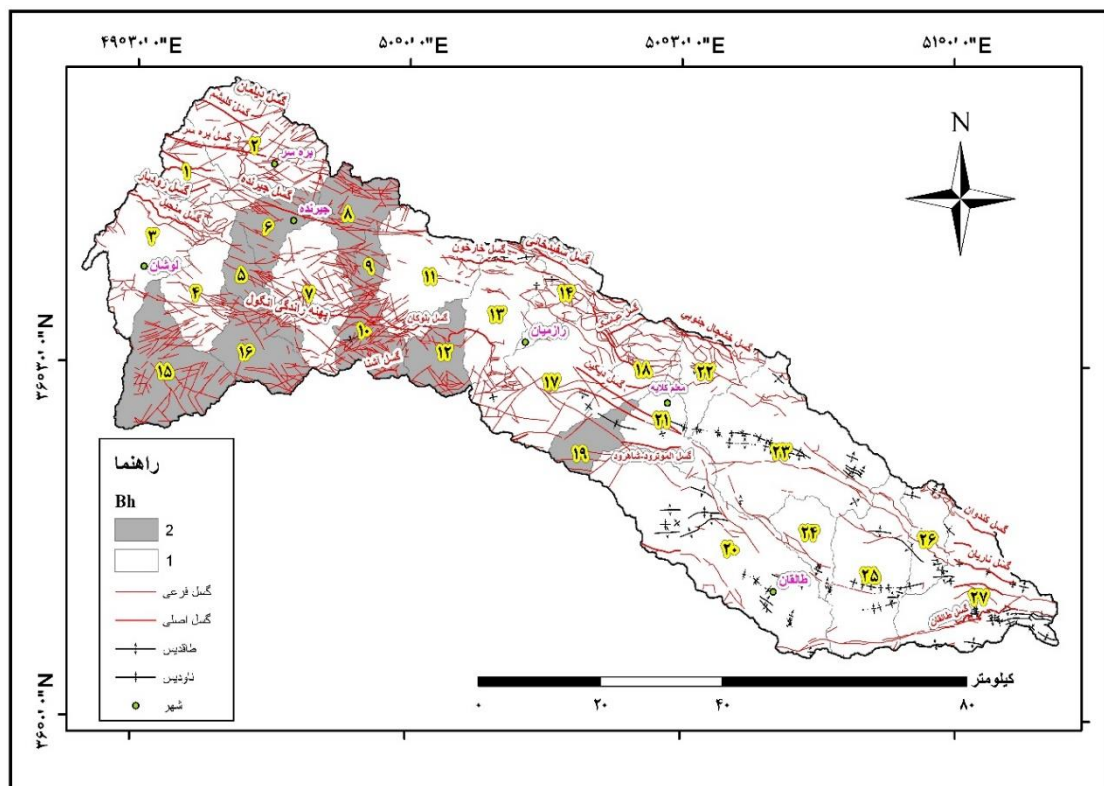
برجستگی حوضه نقش مهمی در توسعه زهکشی، حرکت آب‌های سطحی و زیرزمینی، تراوایی، توسعه اشکال سطحی زمین و ویژگی‌های فرسایشی عوارض زمینی دارد. مقدار بالای برجستگی نشان‌دهنده شدت جریان آب، نفوذ پایین و مقدار بالای رواناب می‌باشد. برجستگی نسبی از اختلاف بین مرتتفع‌ترین و پست‌ترین ارتفاعات حوضه به‌دست می‌آید و از رابطه (۸) محاسبه می‌شود (کلر و پینتر^۲، ۲۰۰۲: ۳۶۲):

¹. Relative Relief index

². Keller and Pinter

$$Bh = H_{\max} - H_{\min} \quad (8)$$

بالا بودن مقدار شاخص Bh نشان دهنده فعالیت بالای زمین ساختی است. در رابطه (۸)، H_{\max} بالاترین ارتفاع موجود در حوضه و H_{\min} پایین ترین ارتفاع حوضه است. با توجه به مقادیر شاخص برجستگی نسبی در منطقه مورد مطالعه، به لحاظ فعالیت زمین ساختی این شاخص در ۲ رده طبقه بندی شده است: رده ۱ با مقادیر ۲۰۰۰ و بیشتر ($Bh \geq 2000$) که نمایان گر فعالیت زمین ساختی بالاست و رده ۲ با مقادیر ۱۰۰۰ تا 2000 ($2000 > Bh \geq 1000$) که فعالیت زمین ساختی متوسط را نشان می دهد (شکل ۸). به دلیل نرخ بالا آمدگی بالای منطقه، گستره مورد مطالعه فاقد رده ۳ ($1000 > Bh$) می باشد و بیشتر مساحت منطقه دارای رده یک فعالیت زمین ساختی است. بیشترین مقدار شاخص برجستگی نسبی مربوط به حوضه ۱۸ با ۲۸۹۷ متر و حوضه ۲۳ با ۲۸۸۳ متر در اثر عملکرد گسل های خشچال، دیکین و الموت رود- شاهروд می باشد (جدول ۱).



شکل ۸: نقشه پراکندگی مقادیر شاخص برجستگی نسبی در گستره مطالعه

تراکم زهکشی^۱ (D_d)

میزان تراکم آبراهه در یک حوضه، می تواند نشان دهنده وضعیت شدت و ضعف آبراهه ها و فرسایش در قسمت های مختلف آن باشد. مقدار این شاخص به فرسایش و میزان برش چشم اندازها بستگی دارد. شبکه زهکشی در چشم اندازهای قدیمی که در زمان طولانی در سطح زمین قرار دارند، گسترش بیشتری یافته و در نتیجه دارای مقدار تراکم زهکشی بیشتری است. مقدار تراکم زهکشی در حوضه هایی که دارای فعالیت زمین ساختی اخیر می باشند، کمتر است (کلر و پینتر^۲: ۲۰۰۲).

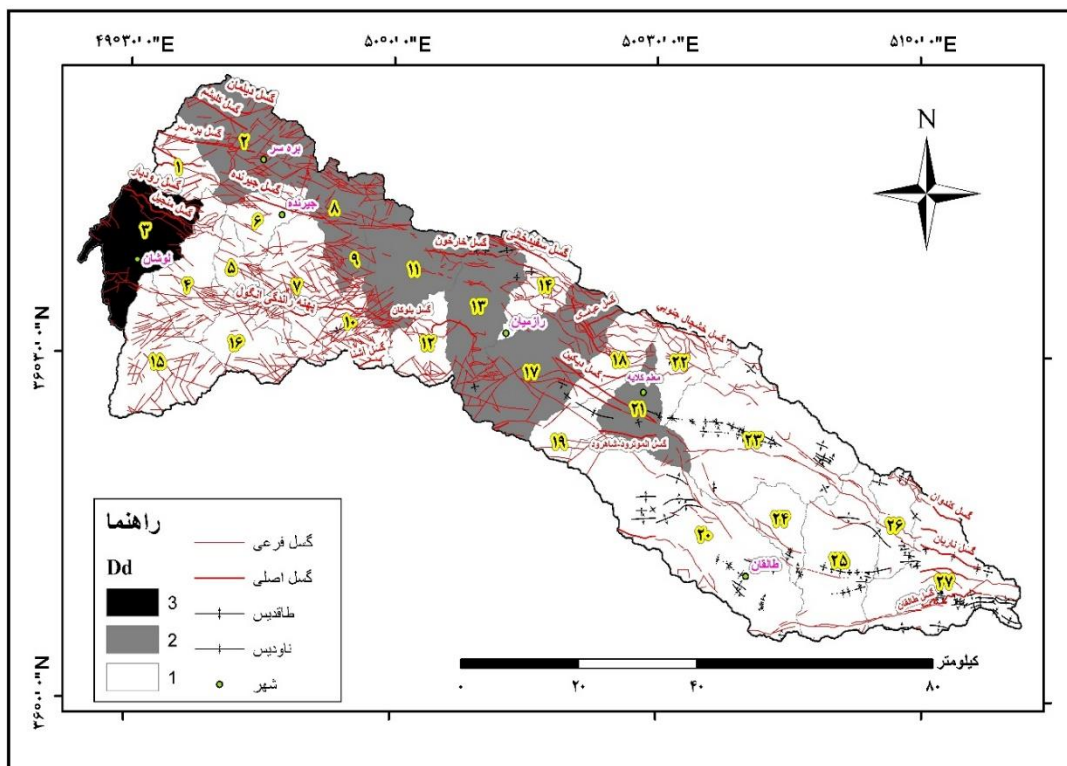
¹. Drainage density index

². Keller and Pinter

۳۶۲). تراکم زهکشی از نسبت مجموع طول تمام آبراهه‌های یک حوضه به مساحت حوضه محاسبه می‌شود (هورتن^۱، ۱۹۴۵: ۲۷۵-۳۷۰):

$$D_d = L_u / A \quad (9)$$

در رابطه بالا، (L_u) مجموع طول تمام آبراهه‌های یک حوضه و A مساحت حوضه می‌باشد. شاخص تراکم زهکشی نیز به لحاظ فعالیت زمین‌ساختی به ۳ ردی طبقه بندی می‌شود: ردی ۱ شامل مقادیر $0 / ۸ \leq D_d < ۰ / ۰$ و کمتر ($D_d < ۰ / ۰$) و نمایان‌گر فعالیت بالای زمین ساختی، ردی ۲ شامل مقادیر بین $0 / ۰ \geq D_d > ۰ / ۹$ و نشان‌دهنده فعالیت زمین‌ساختی متوسط و ردی ۳ شامل مقادیر بیشتر از $0 / ۹ < D_d < ۰ / ۹$ می‌باشد که فعالیت زمین‌ساختی پایین را نشان می‌دهد (شکل ۹). این شاخص در حوضه ۱ به دلیل فعالیت گسل‌های روبدبار، جیرنده و بره سر، حوضه ۱۲ به دلیل فعالیت گسل‌های انگول و بلوکان، حوضه‌های ۱۸ و ۲۲ به دلیل فعالیت گسل‌های دیکین و خشچال جنوبی و حوضه ۲۷ به دلیل فعالیت گسل‌های طالقان، ناریان و گسل‌های شرقی منطقه بالاترین فعالیت زمین‌ساختی را نشان می‌دهد (جدول ۱). همچنین فعالیت گسل‌های پهنه راندگی انگول، سفیدخانی، الموت رود-شاہرود، کندوان، ناریان و طالقان نیز موجب ردی یک فعالیت زمین‌ساختی شاخص برجستگی نسبی در حوضه‌های واقع در این گسل‌ها شده است. غیر از حوضه ۳، بقیه حوضه‌ها فعالیت متوسط و بالا را دارا هستند.



شکل ۹: نقشه پراکندگی مقادیر شاخص تراکم زهکشی در گستره مطالعاتی.

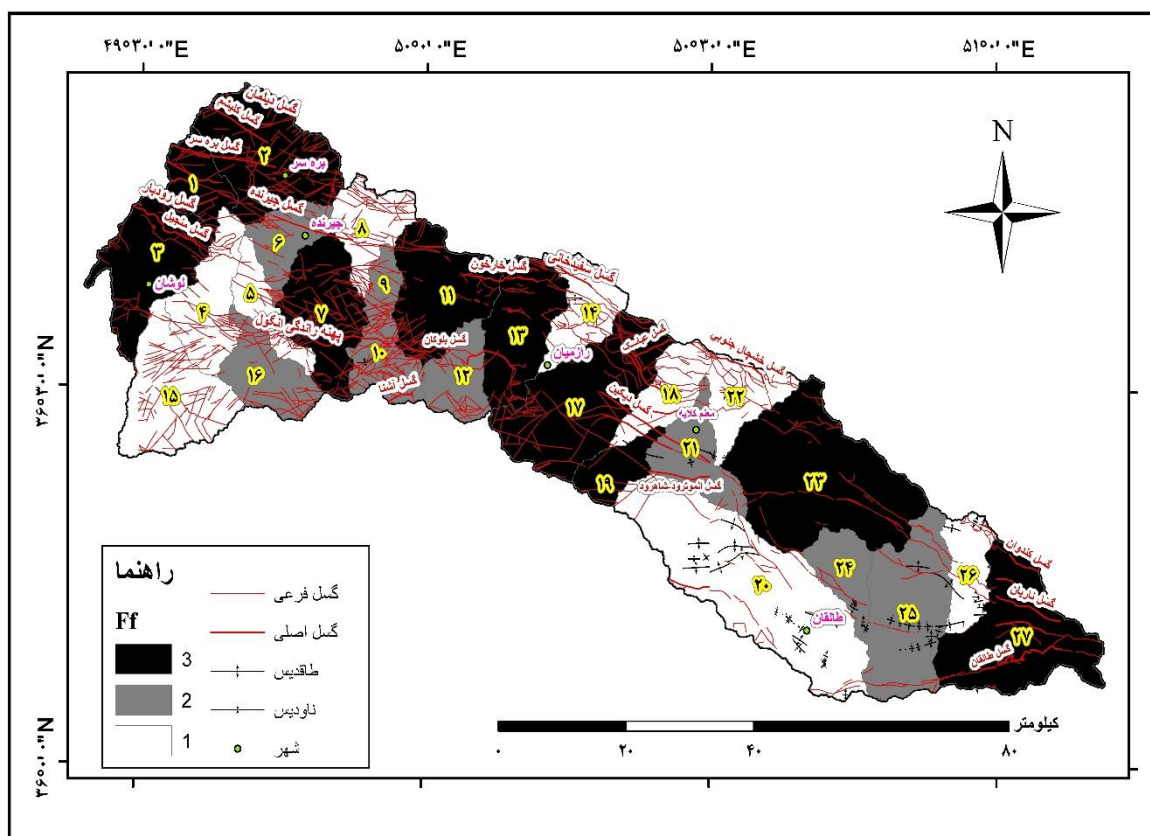
¹. Horton

شاخص ضریب شکل^۱ (Ff)

شاخص ضریب شکل از رابطه (۱۰) محاسبه می شود (هورتن^۲، ۱۹۴۵؛ ۳۷۰-۲۷۵):

$$Ff = A / L^2 \quad (10)$$

در این رابطه، A مساحت حوضه و L^2 محدود طول حوضه است. طول حوضه از محل خروج آبراهه اصلی تا مرتفع ترین نقطه در حوضه محاسبه می گردد. ضریب شکل نشان دهنده شدت جریان یک حوضه برای یک مساحت معین است. هر چه مقدار این شاخص به عدد ۱ نزدیکتر باشد حوضه به مربع نزدیکتر است و هر چه ضریب فرم کوچکتر از یک باشد حوزه کشیده تر است و از نظر زمین ساختی دارای فعالیت بیشتری می باشد (سینق و همکاران^۳، ۱۱۰-۱۴۰). مقدار این شاخص در گستره مورد مطالعه بین ۰/۰۴۵ تا ۰/۰۱۶ می باشد (جدول ۱). شاخص ضریب شکل به لحاظ فعالیت زمین ساختی به رده های بالا (رده ۱ با مقادیر $0/0\leq Ff < 0/25$ و کمتر: $0/25 \leq Ff < 0/25$)، متوسط (رده ۲ با مقادیر $0/25\leq Ff < 0/3$) و پایین (رده ۳ با مقادیر $0/3\leq Ff < 0/0$) طبقه بندی شده است (شکل ۱۰). حوضه های ۱۴، ۲۰ و ۵ به ترتیب بیشترین کشیدگی را در گستره مورد مطالعه دارند که تحت اثر گسل های سفیدخانی، طالقان، الموت رود - شاهرود، انگول و منجیل فعالیت بالای زمین ساختی را نشان می دهند. کمترین کشیدگی و بیشترین مقدار عددی شاخص ضریب شکل نیز مربوط به حوضه های ۱۱، ۱۳ و ۱۹ می باشد.



شکل ۱۰: نقشه پراکندگی مقادیر شاخص ضریب شکل در گستره مطالعاتی.

¹. Form factor index

². Horton

³. Singh et al

شاخص گرادیان طولی رود^۱ (SL)

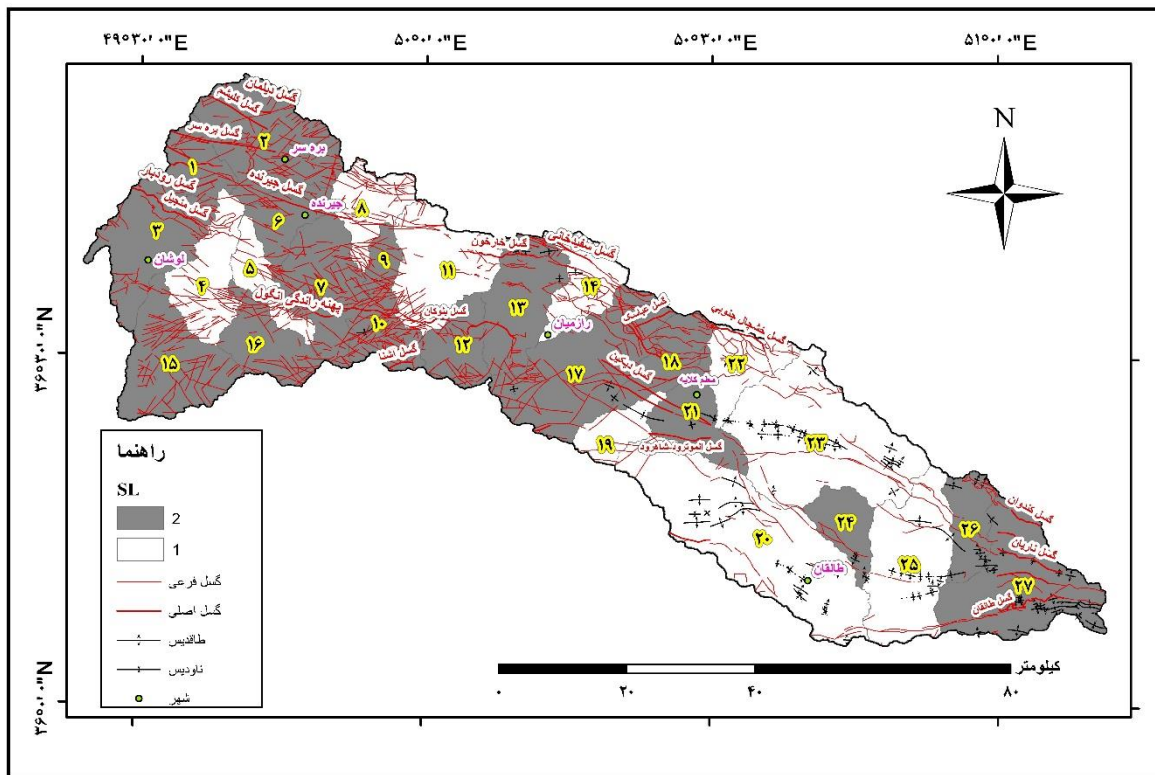
شاخص گرادیان طولی رود برای ارزیابی زمین‌ساخت فعال نسبی ابزار مفیدی است. این شاخص همچنین ارتباط بین فرسایش و جریان رودخانه را مشخص می‌کند و با قدرت رود نیز ارتباط دارد (Hack^۲, ۱۹۷۳: ۴۲۱-۴۲۹). این شاخص از رابطه (۱۱) محاسبه می‌شود:

$$SL = (\Delta H / \Delta L_r) L_{sc} \quad (11)$$

در رابطه بالا SL گرادیان طولی رود، ΔH اختلاف ارتفاع بین دو تراز کنتور، ΔL_r فاصله بین دو تراز روی طولانی‌ترین آبراهه، $(\Delta H / \Delta L_r)$ گرادیان مسیر کanal رود و L_{sc} طول کلی کanal رودخانه از نقطه‌ای که این شاخص محاسبه می‌شود تا مرتفع‌ترین نقطه کanal است. هنگامی که رودخانه و آبراهه‌ها در نواحی با نرخ بالاً‌مدگی زیاد جریان دارند، مقدار SL افزایش می‌یابد. برای محاسبه این شاخص از مدل رقومی ارتفاعی (DEM) با دقت ۳۰ متر در امتداد هر مسیر جریان در نرم افزار Arc GIS 10.1 برای تمامی حوضه‌ها استفاده شده است و همچنین لایه توپوگرافی تهیه گردید و با استفاده از طولانی‌ترین آبراهه موجود در هر حوضه، در هر قسمت داده‌های مورد نیاز به دست آمد. درنهایت میانگین مقادیر این شاخص برای هر حوضه محاسبه شد. مقادیر میانگین حوضه‌ها به لحاظ فعالیت زمین‌ساختی در ۲ رده طبقه‌بندی شده است: رده ۱ با مقادیر ۹۵۰ و بیشتر ($SL \geq ۹۵۰$) که نشانگر فعالیت زمین‌ساختی بالاست و رده ۲ با مقادیر ۵۰۰ تا ۹۵۰ ($500 < SL \leq ۹۵۰$) که فعالیت زمین‌ساختی متوسط را نشان می‌دهد (شکل ۱۱). به دلیل نرخ بالاً‌مدگی بالای منطقه، گستره مورد مطالعه فاقد رده ۳ ($500 > SL$) می‌باشد. در گستره مورد مطالعه، حوضه ۲۰ بیشترین مقدار شاخص SL را نشان می‌دهد که ناشی از عملکرد گسل‌های طالقان، الموت رود-شهرود و همچنین چین خودگی‌های موجود می‌باشد. همچنین حوضه‌های ۱۱ و ۱۴ نیز نشان‌دهنده فعالیت زمین‌ساختی بالایی هستند که ناشی از عملکرد گسل‌های سفیدخانی و خارخون است که به صورت عرضی طولانی‌ترین آبراهه موجود در این حوضه را برپیده‌اند (جدول ۱). در حوضه ۸ فعالیت گسل جیرنده، حوضه ۹ فعالیت گسل الموت رود-شهرود و در حوضه ۲۵ فعالیت گسل طالقان، موجب شده طولانی‌ترین آبراهه‌های موجود در حوضه توسط گسل‌های مذکور قطع شده و موجب ایجاد آنومالی در آبراهه‌ها و فعالیت بالای زمین-ساختی مربوط به شاخص گرادیان طولی رود شود.

¹. Longitudinal gradiant index

². Hack



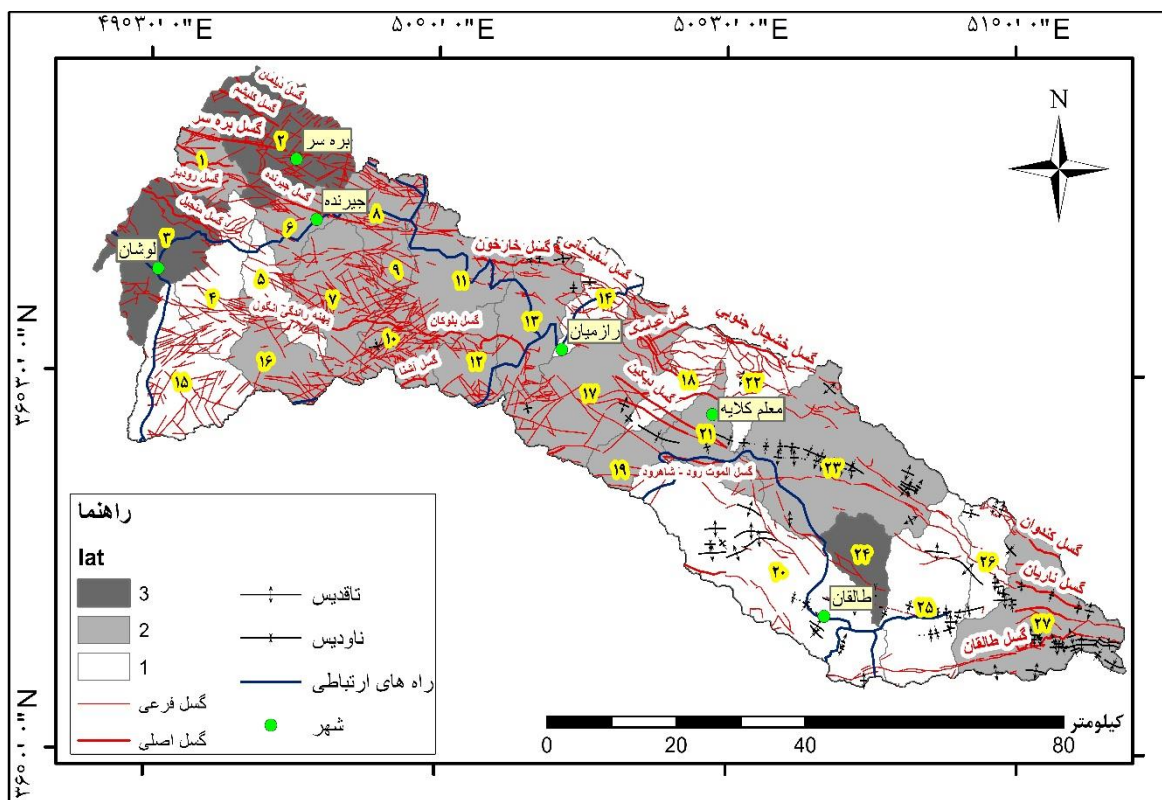
شکل ۱۱: نقشه رده‌بندی شاخص گرادیان طولی رود در گستره مطالعاتی

شاخص زمین‌ساخت فعال نسبی^۱ (Iat)

در این پژوهش برای بررسی فعالیت زمین‌ساختی گستره مورد مطالعه از چند شاخص مورفومتری استفاده شده است که شامل شاخص‌های ناهنجاری سلسله مراتبی (Δa)، انشعابات (R)، انتگرال و منحنی فرازستنجی (Hi)، برجستگی نسبی (Bh)، تراکم زهکشی (D_d)، ضربی شکل (Ff) و گرادیان طولی رود (SL) می‌باشند. هر یک از این شاخص‌ها به ۳ رده فعالیت زمین‌ساختی پایین تا فعالیت زمین‌ساختی بالا تقسیم‌بندی شدند. در نهایت برای هر حوضه با میانگین‌گیری از رده کل شاخص‌ها (S/n)، شاخص زمین‌ساخت فعال نسبی (Iat) محاسبه شد. این شاخص نیز با توجه به نظر الحدمونی و همکاران^۲ (۲۰۰۸) در ۴ رده توزیع شده است: رده ۱ زمین‌ساخت فعال نسبی ($1 \geq Iat > 1/5$) که نشان‌دهنده فعالیت زمین‌ساختی بسیار بالا، رده ۲ زمین‌ساخت فعال نسبی ($1/5 \geq Iat > 2/5$) که نشان‌دهنده فعالیت زمین‌ساختی بالا، رده ۳ زمین‌ساخت فعال نسبی ($2/5 \geq Iat > 2/14$) که نشان‌دهنده فعالیت زمین‌ساختی متوسط و رده ۴ زمین‌ساخت فعال نسبی ($Iat \geq 2/14$) که نشان‌دهنده فعالیت زمین‌ساختی پایین می‌باشد. با توجه به این که بیشترین مقدار این شاخص در منطقه مورد مطالعه $2/14$ می‌باشد، رده ۴ طبقه‌بندی در منطقه مورد مطالعه وجود ندارد که نشان از نبود فعالیت پایین در منطقه است. نقشه پهن‌بندی فعالیت زمین‌ساختی در گستره مورد مطالعه تهیه شد (شکل ۱۲). نتایج حاصل از این شاخص نشان می‌دهد که بیش از نیمی از مساحت حوضه‌های آبریز رده ۲ فعالیت زمین‌ساختی را دارا هستند. فعالیت گسل‌های واقع در گستره مورد مطالعه از جمله سفیدخانی، طالقان، الموت‌رود-شاهروود، خشچال، انگول، منجیل، جیرنده، رودبار، بلوکان،

¹. Relative tectonic activity index². El Hamdouni et al

خارخون، جیرنده و روبار موجب شده که این منطقه دارای فعالیت زمین‌ساختی نسبی اخیر باشد که مشاهدات صحرایی نیز این موضوع را تایید می‌کند.



شکل ۱۲: نقشه توزیع سطح فعالیت زمین‌ساختی نسبی (Iat) در گستره مطالعاتی.

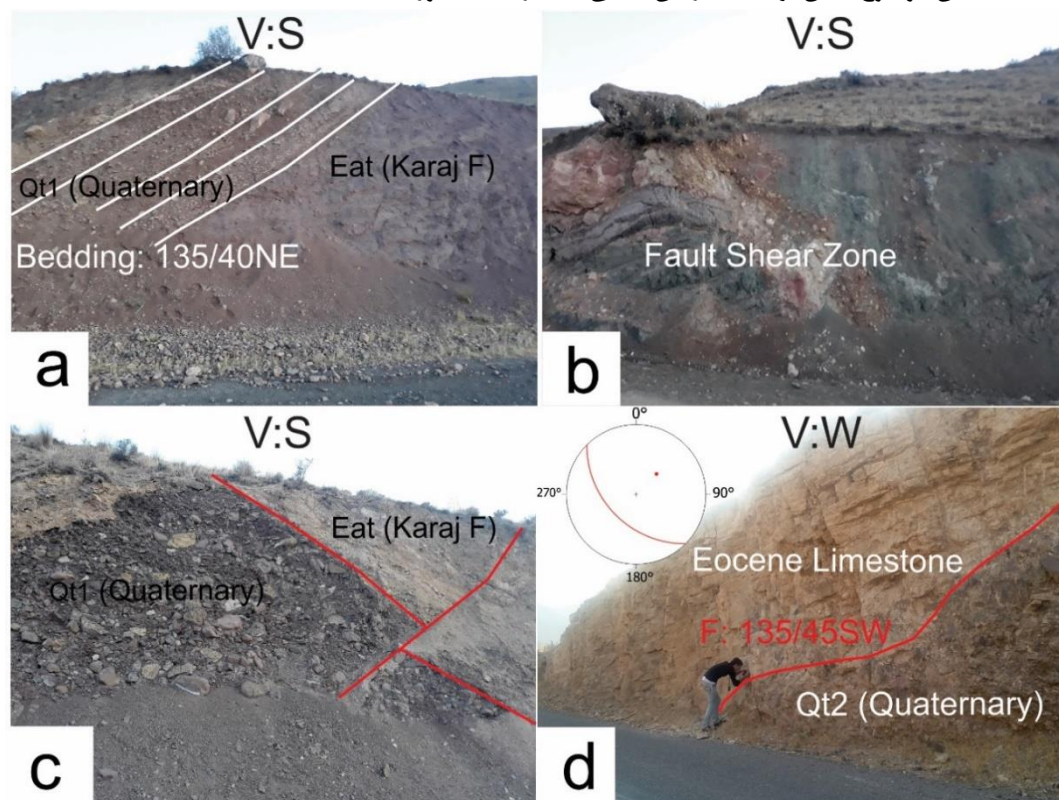
جدول ۱: مقادیر هفت شاخص اندازه‌گیری شده و سطح فعالیت زمین‌ساختی در گستره مورد مطالعه.

Basi n no.	Δa	R	H i	B h (m)	Dd (Km^{-1})	F f	S L	Ia t	Ia t class
۱	.۵۳	.۵۲	.۵۱۸۳۷	۲۱۲۲	.۶۷۱۶۹۵	.۳۰۵۰۹	۸۲۱/۸۸	۱/۷۱	۲
۲	.۹۸	.۴۸	.۴۸۲۸۷	۲۴۵۲	.۸۲۲۰۵۶	.۳۵۴۶۵	۸۲۱/۰۲	۲/۱۴	۳
۳	.۱۴	.۶۹	.۲۷۹۳۵	۲۱۱۲	.۹۰۱۸۳۹	.۴۲۳۰۴	۶۸۷/۷۵	۲	۳
۴	.۰۵	.۳۷	.۳۳۰۱۷	۲۰۰۸	.۷۸۱۰۷۷	.۲۱۲۴۱	۱۰۴۰/۹۶	۱/۲۹	۱
۵	.۸۱	.۶۷	.۳۷۲۹۹	۱۸۷۴	.۷۴۷۸۸	.۱۸۵۶۴	۱۰۶۳/۳۲	۱/۴۳	۱
۶	.۶۱	.۲۴	.۵۸۶۳۱	۱۸۲۵	.۷۹۲۶۹۳	.۲۵۱۸۴	۵۴۸/۸۵	۱/۸۶	۲
۷	.۷۷	.۷۶	.۳۶۳۴۱	۲۰۳۹	.۷۷۳۷۵۴	.۳۹۵۹۴	۶۶۱/۴	۱/۷۱	۲
۸	.۶۱	.۶۱	.۵۸۴۶۷	۱۸۹۷	.۸۱۱۳۳۹	.۲۴۶۰۵	۹۶۲/۳۵	۱/۵۷	۲
۹	.۹۱	.۲۵	.۳۶۹۲۵	۱۶۳۳	.۸۲۴۸۸۹	.۲۸۳۹۶	۷۵۸/۶۲	۱/۸۶	۲
۱۰	.۳	.۶۹	.۵۶۹۳۲	۱۸۹۷	.۷۲۷۴۳	.۲۷۴۷۹	۸۳۲/۸۲	۱/۸۶	۲
۱۱	.۴۶	.۹۳	.۳۶۹۵۶	۲۳۴۶	.۸۳۵۴۶۸	.۴۴۸۹۱	۱۱۴۹/۳۷	۱/۸۶	۲
۱۲	.۱۷	.۵۵	.۴۸۳۲۷	۱۸۸۳	.۱۵۷۰۴۱	.۲۹۱۶۸	۷۹۵/۹۵	۱/۷۱	۲
۱۳	.۴۷	.۰۱	.۳۴۲۲۷	۲۵۹۲	.۸۴۳۹۹۶	.۴۱۵۷۲	۷۶۸/۲۶	۱/۸۶	۲
۱۴	.۰۲	.۳۵	.۵۰۴۷۲	۲۵۵۲	.۷۳۲۰۷۷	.۱۶۳۶۹	۱۷۱۲/۱۴	۱	۱
۱۵	.۳۳	.۳۷	.۵۱۷۳۹	۱۷۵۳	.۷۵۲۴۰۶	.۲۴۳۸۴	۹۳۳/۵۹	۱/۲۹	۱

۱۶	۱/۱۵	۰/۹	۰/۵۵۲۶۴	۱۸۳۳	۰/۷۲۵۹۷۹	۰/۲۸۴۸۱	۶۲۳/۰۱	۱/۵۷	۲
۱۷	۳/۹۹	۱/۹۱	۰/۳۰۹۶۶	۲۷۳۲	۰/۸۰۳۶۸۱	۰/۳۴۷۰۲	۸۹۸/۳۷	۱/۸۶	۲
۱۸	۱/۱	۱/۰۹	۰/۴۰۳۱۷	۲۸۹۷	۰/۶۰۷۶۲۹	۰/۲۰۰۲۱	۹۱۴/۸۶	۱/۲۹	۱
۱۹	۶/۲۴	۱/۱۴	۰/۴۳۱۸۹	۱۵۴۹	۰/۷۱۴۵۵۴	۰/۴۱۴۵۲	۱۰۲۵/۸۶	۱/۵۷	۲
۲۰	۲/۵۴	۱/۳	۰/۴۵۸۲۴	۲۲۶۳	۰/۷۷۴۴۴۶	۰/۱۸۱۱۴	۲۰۹۱/۲۷	۱/۱۴	۱
۲۱	۲/۲۸	۰/۷۲	۰/۳۲۸۱۵	۲۲۵۲	۰/۸۶۱۳۰۴	۰/۲۸۶۹۱	۷۹۴/۴۱	۱/۸۶	۲
۲۲	۰/۸۷	۰/۶۵	۰/۴۸۲۹۱	۲۶۶۳	۰/۶۹۹۶	۰/۲۴۸۲۳	۱۰۸۲/۹	۱/۴۳	۱
۲۳	۰/۷۱	۱/۰۳	۰/۴۵۲۶۵	۲۸۸۳	۰/۷۵۸۶۲۲	۰/۳۱۳۸۳	۱۰۶۳/۰۲	۱/۵۷	۲
۲۴	۰/۳۱	۰/۲۲	۰/۴۱۶۳۳	۲۲۹۴	۰/۷۵۰۹۳۸	۰/۲۵۸۸۴	۷۸۵/۴۲	۲	۳
۲۵	۱/۷۷	۱/۱۶	۰/۳۵۳۲۸	۲۲۵۶	۰/۷۳۸۶۸۶	۰/۲۶۲۹۸	۱۱۰۰/۷	۱/۴۳	۱
۲۶	۱/۲۹	۱/۱۴	۰/۴۰۵۲۸	۲۳۸۶	۰/۷۴۵۶۰۱	۰/۲۰۱۷۶	۶۷۹/۴۱	۱/۲۹	۱
۲۷	۰/۷۶	۰/۸۲	۰/۴۰۶۸۳	۲۲۰۵	۰/۷۰۷۱۴۳	۰/۳۲۰۸۲	۵۶۳/۲۲	۱/۸۶	۲

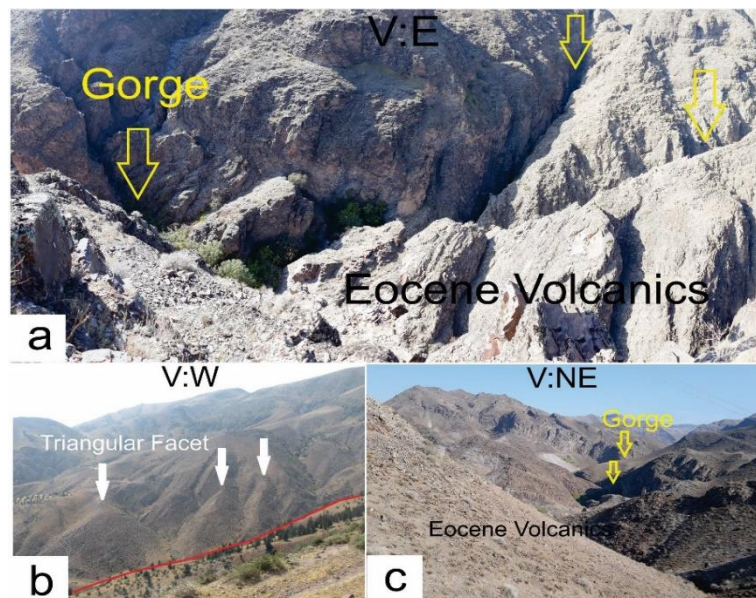
مطالعات صحرایی

بر اساس مطالعات صحرایی، کج شدگی لایه‌های جوان و گسلش نهشته‌های کواترنری موید فعالیت منطقه طی کواترنری می‌باشد (شکل ۱۳). در گستره مطالعاتی با مشاهده لایه‌های جوان کج شده در مناطق مختلف و با توجه به این که در حالت عادی لایه‌های جوان باید افقی باشند، می‌توان به قطعیت در مورد فعالیت کنونی زمین ساختی اظهار نظر کرد. از سوی دیگر در مجاورت گسل‌های منجیل، جیرنده، انگول، الموترود، دیکین و خشچال واحدهای کواترنری به کرات تحت تاثیر گسلش قرار گرفته‌اند که این موضوع نشان‌گر فعالیت زمین ساختی بالا در منطقه مورد مطالعه است.

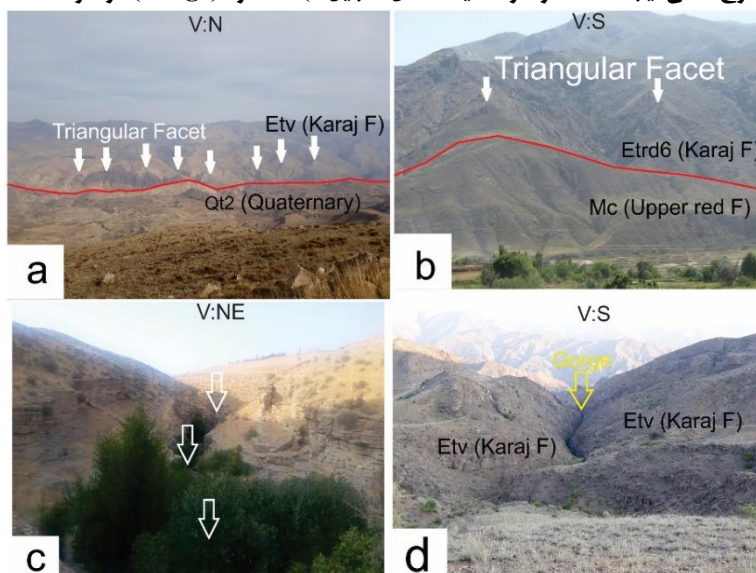


شکل ۱۳: دگرگشکلی‌های ایجاد شده در واحدهای کواترنری. (a) کج شدگی واحدهای پادگانه آبرفتی تحت تاثیر فعالیت گسل انگول و نهشته شدن آن‌ها به صورت دگرشیب بر روی سازند کرج، (b) پهنه برشی گسل با حدود ۲۰ متر عرض در حوضه شماره ۱، (c) گسلش در پادگانه آبرفتی و راندگی سازند کرج بر روی آن در حوضه شماره ۷، (d) گسلش در واحدهای کواترنری تحت تاثیر گسل جیرنده.

فعالیت زمین‌ساختی نسبی بسیار بالا و بالا در منطقه مورد مطالعه به خوبی با لندفرم‌های فعال مانند رودشکن‌های^۱ گسلی در مسیر رودخانه‌ها، دره‌های V شکل، دره‌های تنگ (Gorge) در امتداد گسل، سطوح مثلثی و پادگانه‌های آبرفتی مرتفع همچوایی دارد (شکل ۱۴ و ۱۵). گسل منجیل یکی از شاخص‌ترین گسل‌ها از نظر فعالیت زمین‌ساختی اخیر در منطقه مورد مطالعه است که بخش شرقی این گسل فعالیت بالایی را نشان می‌دهد و شواهد صحراوی برداشت شده از منطقه نیز تایید کننده نتایج به دست آمده می‌باشد (شکل ۱۴).



شکل ۱۴: لندفرم‌های مرتبط با فعالیت زمین‌ساختی گسل منجیل. (a) تنگدره (Gorge) و حفر عمیق رودخانه در حوضه شماره ۵ (b) سطوح مثلثی ایجاد شده در اثر فعالیت گسل منجیل (c) تنگدره (Gorge) در حوضه شماره ۷



شکل ۱۵: لندفرم‌های مرتبط با فعالیت زمین‌ساختی اخیر در منطقه. (a) سطوح مثلثی مربوط به حوضه شماره ۱۲ تحت تاثیر فعالیت گسل انگول (b) سطوح مثلثی و رانگی سازند کرج بر روی سازند قرمز بالایی بر اثر فعالیت گسل شاهرود (c) دره عمیق و تنگ در حوضه شماره ۸ که دارای رودشکن و نشان‌گر فعالیت گسل جیرنده است. (d) حفر قائم رودخانه در حوضه شماره ۱۲.

¹. Knickpoint

با توجه به نقشه پهنه‌بندی زمین‌ساخت فعال نسبی (Iat)، بالا بودن مقادیر شاخص‌های مورفومتری در حوضه‌هایی که تحت تاثیر گسل‌های منجیل، روبار، الموت‌رود-شاہرود، جیرنده و طالقان قرار گرفته‌اند، لندرم‌های فعال و زمین‌لرزه‌های رخ داده در اثر عملکرد گسل‌های موجود در منطقه را می‌توان تاییدی برای فعالیت بالا و خیلی بالای زمین‌ساختی حوضه‌های شاہرود، طالقان رود و الموت رود دانست. از مهمترین زمین‌لرزه‌های رخ داده در گستره مورد بررسی میتوان به زلزله ۲۰ جون ۱۹۹۰ روبار با بزرگی $Mw=7/3$ اشاره کرد که بزرگترین زمین‌لرزه دستگاهی ثبت شده در البرز می‌باشد و بر روی گسل روبار و جیرنده رخ داده است. همچنین زمین‌لرزه ۱۵ آگوست ۱۴۸۵ پلرود با بزرگی $Ms=7/2$ و زمین‌لرزه ۲۰ آوریل ۱۶۰۸ الموت‌رود با بزرگی $Ms=7/6$ بر اثر عملکرد گسل‌های کلیشم و الموت‌رود از زمین‌لرزه‌های ثبت شده تاریخی در این منطقه می‌باشند (بربریان و واکر^۱، ۲۰۱۰: ۱۵۷۷-۱۶۰۲). از سایر زمین‌لرزه‌های تاریخی منطقه می‌توان به زلزله ۲۳ فوریه ۹۵۸ طالقان با بزرگی $Ms=7/7$ در اثر گسل طالقان، زلزله ۹ ژانویه ۱۹۰۵ درام با بزرگی $Ms=6/2$ در اثر گسل منجیل و زلزله ۱۶ دسامبر ۱۸۰۸ طالقان با بزرگی $Ms=5/9$ در اثر گسل الموت‌رود اشاره کرد (امیرسیس و ملویل^۲، ۲۰۰۵: ۱۰۷). در کل میتوان اذعان کرد که حوضه‌هایی که تحت تاثیر گسل‌های فعال منطقه قرار گرفته‌اند از لحاظ زمین‌ساختی به شدت فعال هستند و مناطق مسکونی واقع در شهرهای طالقان، معلم کلایه، رازمیان و جیرنده و همچنین روستاهایی واقع در مناطق فعال زمین‌ساختی، در معرض خطر زمین‌لرزه قرار دارند.

بحث

در مناطق مختلف جهان پژوهش‌های زیادی با استفاده از شاخص‌های ریخت‌سنگی انجام شده که می‌توان به فیگورا و همکاران^۳ (۲۰۱۰) در جنوب نوادای کالیفرنیا، ملوش و کلر^۴ (۲۰۱۳) در کمریند چین‌خورده سانتا باربارا کالیفرنیا، یمانی و همکاران (۱۳۹۱) در مخروطه افکنه‌های شمال دامغان، بهیاری و همکارن (۱۳۹۵) کمپلکس میشو در شمال باختر ایران اشاره کرد. با توجه به شاخص‌های مورفومتری محاسبه شده در این پژوهش و تلفیق نتایج به دست آمده از این شاخص‌ها با مطالعات صحرایی نتایج زیر حاصل شده است:

گسل‌های جیرنده، دیکین، منجیل و انگول تاثیر زیادی در ناهنجاری سلسله‌مراتبی و انشعابات ایجاد کرده‌اند که نشان‌دهنده فعالیت زمین‌ساختی کنونی و تاثیر آن‌ها بر انشعابات روداخانه می‌باشد. همچنین در حوضه‌هایی که تحت تاثیر گسل‌های طالقان، الموت‌رود-شاہرود و عباسک قرار دارند نیز شاخص‌های سلسله‌مراتبی و انشعابات مقادیر بالایی نشان می‌دهند (شکل‌های ۳، ۴ و ۵). با توجه به نقشه پهنه‌بندی بر اساس شاخص انتگرال فرازسنگی بیشترین فعالیت زمین‌ساختی در حوضه‌هایی دیده می‌شود که گسل‌های جیرنده، روبار و انگول دارای بیشترین تأثیر در آن‌ها می‌باشند (شکل ۷). شاخص برجستگی نسبی در حوضه‌هایی از گستره مورد بررسی که تحت تأثیر گسل‌هایی نظری‌خشچال، دیکین، الموت‌رود-شاہرود، سفیدخانی و طالقان و نیز چین‌های متعدد هستند، بیانگر نرخ بالا‌آمدگی بیشتر به دلیل فعالیت زمین‌ساختی بیشتر در این محدوده است (شکل ۸). در مطالعه شاخص تراکم زهکشی در منطقه، بیشترین فعالیت در حوضه‌های جنوبی و شرقی اندازه گیری و مشاهده شده است که با ساختارهای زمین‌ساختی موجود در این مناطق نظری گسل‌های انگول، طالقان، ناریان، بلوکان، دیکین، قسمت شرقی گسل منجیل و جیرنده همخوانی نشان می‌دهد (شکل ۹). از آنجا که حوضه‌های با کشیدگی بیشتر نشان‌دهنده فعالیت زمین‌ساختی بالاتر می‌باشد، بررسی شاخص ضربی شکل نشان می‌دهد حوضه‌هایی که ناشی از عملکرد گسل‌های منطقه همچون سفیدخانی، طالقان، دیکین، خشچال، الموت‌رود-شاہرود و انگول هستند، فعالیت

¹. Berberian and Walker

². Ambraseys and Melville

³. Figueroa et al

⁴. Melosh and Keller

بالاتری را نشان می‌دهند (شکل ۱۰). در بررسی شاخص گرادیان طولی رود (SL)، در مناطقی که گسل‌ها آبراهه‌های موجود در حوضه را قطع کرده‌اند آنومالی‌هایی در شیب رودها مشاهده شده است. به این صورت که در محل برخورد گسل، رود دستخوش تغییر شده و شیب آن افزایش یافته است. به طور مثال گسل منجیل در مناطقی که به آبراهه حوضه ۴ برخورد کرده، گرادیان طولی را افزایش داده است. در حوضه ۸ آبراهه‌هایی که در مسیر خود به گسل جیرنده برخورد کرده‌اند نیز عدد بالایی از این شاخص در محل برخورد نشان می‌دهند. در حوضه‌های ۸ و ۱۴ به علت عملکرد گسل سفیدخانی، در محل تلاقی گسل با آبراهه شاهد افزایش شاخص گرادیان طولی هستیم. مسیر آبراهه اصلی در حوضه‌های ۵، ۷ و ۱۰ به دلیل فعالیت گسل انگول چار تغییرات شیب شده است. همچنین در حوضه ۲۰ در محل تلاقی گسل طالقان با آبراهه شاهد تغییر در مقدار گرادیان طولی هستیم. طبق شاخص زمین‌ساخت فعال نسبی (Iat)، گستره مورد مطالعه سطح فعالیت زمین‌ساختی متوسط، بالا و بسیار بالا را نشان می‌دهد. این مناطق با چشم‌اندازهای فعال به دست آمده از عملیات صحرایی مطابقت دارند و شواهد صحرایی تطابق خوبی با توزیع فعالیت زمین‌ساخت نسبی محاسبه شده در پهنه‌های گسلی منطقه نشان می‌دهند. بر پایه نقشه پهنه‌بندی زمین‌ساخت فعال نسبی (Iat)، بخش‌های وسیعی از منطقه فعالیت زمین‌ساخت کنونی خیلی بالایی نشان می‌دهند که این وضعیت به دلیل فعالیت گسل‌های نظیر منجیل، انگول، طالقان، سفیدخانی، الموت‌رود-شاهرود، دیکین و خشچال می‌باشد (شکل ۱۲). رده ۲ فعالیت زمین‌ساختی اخیر در منطقه نیز حاکی از فعالیت و جابجایی در گسل‌های رودبار، جیرنده، خارخون، بلوکان و ناریان می‌باشد. گسل دیلمان از مزوژوییک تا کواترنری رخدادهای متفاوتی از فعالیت و مکانیسم را داشته است و در زمان نئوژن هم فعال بوده است (حکیمی آسیابر و باقریان^۱، ۲۰۱۸).

نتیجه‌گیری

در این پژوهش، ارزیابی میزان فعالیت نو زمین‌ساختی با استفاده از هفت شاخص ریخت‌سنگی ناهنجاری سلسله مراتبی (Δa ، شاخص انشعابات (R)، انتگرال و منحنی فرازنگی (Hi)، بر جستگی نسبی (Bh)، تراکم زهکشی (D_d)، ضریب شکل (Ff) و شاخص گرادیان طولی رود (SL) در حوضه‌های آبریز شاهرود، طالقان رود و الموت رود به انجام رسید. علاوه بر ایران، در مناطق مختلف جهان نیز پژوهش‌های زیادی با استفاده از شاخص‌های ریخت‌سنگی جهت تعیین مناطق فعال از لحاظ زمین‌ساختی انجام شده است. تعیین مناطق فعال به ما کمک می‌کند که بتوانیم تا حدود زیادی از خسارات ناشی از بلایای طبیعی مانند سیل و زلزله جلوگیری کنیم. با توجه به نتایج حاصل از محاسبه کمی شاخص‌ها میتوان گفت هر چه گستره مورد بررسی از لحاظ زمین‌ساختی فعال تر باشد، دارای مقادیر عدی بیشتر شاخص‌های Hi، Bh، R، Δa ، D_d و SL و مقدار کمتر شاخص Ff می‌باشد. نتایج حاصل از نقشه پهنه‌بندی شاخص زمین‌ساخت فعال نسبی (Iat) نشان می‌دهد که به طور کلی فعالیت زمین‌ساختی نسبی اخیر در بیشتر حوضه‌های گستره مورد مطالعه بالا و بسیار بالا است، به‌طوری که فقط حوضه‌های ۳، ۲ و ۲۴ دارای فعالیت متوسط بوده و سایر حوضه‌ها فعالیت بالا و بسیار بالا را نشان می‌دهند. در حدود ۳۵ درصد (۱۷۴۸ کیلومتر مربع) از گستره مطالعاتی فعالیت زمین‌ساختی بسیار بالا و حدود ۵۳ درصد (۲۶۸۴ کیلومتر مربع) فعالیت زمین‌ساختی بالا را دارا می‌باشد که بیان‌گر فعالیت نو زمین‌ساختی اخیر ساختارهای موجود در منطقه می‌باشد. از شواهد صحرایی فعالیت بالای این منطقه میتوان به کچشیدگی واحدهای پادگانه آبرفتی در حوضه ۱۶ به دلیل فعالیت گسل انگول و نهشته شدن آن‌ها به صورت دگرگشیب بر روی سازند کرج، پهنه برشی گسل در حوضه شماره ۱۱ به دلیل فعالیت بخش‌هایی از گسل‌های خارخون و بلوکان، گسلش در واحدهای کواترنری در حوضه‌های ۱، ۶ و ۸ تحت تاثیر فعالیت گسل جیرنده، تنگدره (Gorge) و سطوح مثلثی ایجاد شده در حوضه شماره ۵ به دلیل فعالیت گسل منجیل اشاره کرد. عملکرد سایر گسل‌های فعال موجود در منطقه از قبیل گسل‌های سفیدخانی، دیکین، طالقان، الموت‌رود-

¹. Hakimi Asiabar and Bagheriyan

شهرود، خشچال و گسل رودبار نیز موجب ایجاد لندفرم‌های زیادی در منطقه شده است که نشان‌دهنده فعالیت بالای این منطقه می‌باشد. نتایج حاصل از محاسبه کمی شاخص‌های ریخت‌سنگی و تجزیه و تحلیل آن‌ها با گسل‌های واقع در منطقه، زمین‌لرزه‌های رخداده در گستره مطالعاتی، مطالعات صحرایی، ایجاد لندفرم‌های مختلف و گسلش در واحدهای کواترنری فعالیت زمین‌ساختی اخیر بالا و بسیار بالای این منطقه را تایید می‌کند.

منابع

- بابایی، س.، قرشی، م.، پورکرمانی، م.، حاجی حسینلو، ح.، بودری، س.، ۱۳۹۸. بررسی فعالیت زمین‌ساختی با استفاده از شاخص‌های ریخت زمین‌ساختی و GIS در حوضه‌های ناحیه مراغه (آذربایجان خاوری، شمال باختر ایران)، فصلنامه کواترنری ایران، دوره ۵، شماره ۱، صص ۴۵-۲۷.
- بهرامی، ش.، ۱۳۹۴. تحلیل کمی ناهنجاری سلسه مراتبی شیکه زهکشی و ارتباط آن با تکتونیک، مطالعه موردنی: ۱۰ حوضه آبخیز زاگرس، فصلنامه جغرافیا و برنامه‌ریزی محیطی، دوره ۲۶، شماره ۱، صص ۳۴-۱۵.
- بهیاری، م.، مجلل، م.، مؤید، م.، رضائیان، م.، ۱۳۹۵. بررسی تأثیر تغییرات منطقه‌ای برافرازش بر شاخص‌های ژئومورفیک: کمپلکس میشو در شمال باختر ایران، فصلنامه زمین‌شناسی ایران، دوره ۱۰، شماره ۳۸، صص ۵۳-۳۹.
- جباری، ن.، ثروتی، م.ر.، حسین‌زاده، م.م.، ۱۳۹۱. مطالعه مورفو-تکتونیک فعال حوضه آبخیز حصارک (شمال غرب تهران) با استفاده از شاخص‌های مورفو-متريک، پژوهش‌های ژئومورفولوژی کمی، دوره ۱، شماره ۲، صص ۱۷-۳۴.
- حاجی کریمی، ز.، شایان، س.، خوش رفتار، ر.، ۱۳۹۹. ارزیابی تکتونیک فعال حوضه آبریز کرگان‌رود در دامنه شرقی تالش (بغدادگ)، با استفاده از شاخص‌های ژئومورفیک، پژوهش‌های ژئومورفولوژی کمی، دوره ۹، شماره ۱، صص ۲۳۶-۲۱۷.
- رابطی، د.، ده بزرگی، م.، حکیمی اسیابر، س.، نوزعیم، ر.، ۱۳۹۷. بررسی زمین‌ساخت فعال با استفاده از شاخص‌های ژئومورفولوژی در حوضه سپیدرود، البرز غربی، پژوهش‌های ژئومورفولوژی کمی، دوره ۷، شماره ۲، صص ۱۴۰-۱۵۷.
- شفیعی، آ.، عباسی، ز.، تاجبخش، س.، موسوی، س.، معماریان، ۵.، ۱۳۹۹. بررسی زمین ساخت فعال در شمال حوزه آبخیز دشت بیرون‌جند با استفاده از فاکتورهای مورفو-متريک، پژوهش‌های ژئومورفولوژی کمی، دوره ۹، شماره ۱، صص ۱۳۳-۱۱۷.
- علی‌پور، ر.، صدر، ا.ح.، نظری دبیر، ح.، قمریان، س.، ۱۳۹۷. ارزیابی زمین‌ساخت فعال نسبی کوه‌های گرین با استفاده از شاخص‌های مورفو-متريک و تحلیل الگوی فرکتالی (نهاند، باختر ایران). پژوهش‌های ژئومورفولوژی کمی، دوره ۷، شماره ۳، صص ۳۱-۵۶.
- یمانی، م.، مقصودی، م.، قاسمی، م. ر.، محمدنژاد، و.، ۱۳۹۱. شواهد مورفو-لولوژیکی و مورفو-متريکی تاثیر تکتونیک فعال بر مخروطه افکنه‌های شمال دامغان، پژوهش‌های جغرافیای طبیعی، دوره ۴۴، شماره ۲، صص ۱-۱۸.
- Allen, M.B., Ghassemi, M.R., Shahrabi, M., Qorashi, M. (2003). Accommodation of late Cenozoic oblique shortening in the Alborz range, northern Iran. *Journal of Structural Geology*, 25(5), pp. 659-672.
- Ambraseys, N.N., & Melville, C.P. (2005). A history of Persian earthquakes. Cambridge university press, pp. 107.

- Avena, G.V.C., Giuliano, G., Lupia Palmieri, E. (1967). *Sulla valutazione quantitativa della gerarchizzazione ed evoluzione dei reticolli fluviali*. Bollettino della Societa Geologica Italiana, 86(8), pp. 781–796.
- Berberian, M., & Walker, R. (2010). *The Rudbār Mw 7.3 earthquake of 1990 June 20; seismotectonics, coseismic and geomorphic displacements, and historic earthquakes of the western (High-Alborz), Iran*. Geophysical Journal International, 182(3), pp. 1577-1602.
- Ciccacci, S., Fredi, P., Lupia Palmieri, E., Pugliese, F. (1986). *Indirect evaluation of erosion entity in drainage basins through geomorphic, climatic and hydrological parameters*. International Geomorphology, 2(3), pp. 33–48
- El Hamdouni, R., Irigaray, C., Fernandez, T., Chacón, J., Keller, E.A. (2008). *Assessment of relative active tectonics, southwest border of Sierra Nevada (southern Spain)*. Geomorphology, 96(1-2), pp. 150–173.
- Figueroa, A., Jeffrey, M., Knott, R. (2010). *Tectonic geomorphology of the southern Sierra Nevada Mountains (California), Evidence for uplift and basin formation*. Geomorphology, 123(1-2), pp. 34- 45.
- Fossen, H. (2016). *Structural Geology*. Cambridge University Press, pp. 481.
- García Delgado, H., & Velandia, F. (2020). *Tectonic geomorphology of the Serranía de San Lucas (Central Cordillera), Regional implications for active tectonics and drainage rearrangement in the Northern Andes*. Geomorphology, 349(4), pp. 106914.
- Guarneri, P., & Pirrotta, C. (2008). *The Response of Drainage Basins to the Late Quaternary Tectonics in the Sicilian Side of the Messina Strait (NE Sicily)*. Geomorphology, 95(3-4), pp. 260- 273.
- Hack, J.T. (1973). *Stream-profiles analysis and stream-gradient index*, *Journal of Research of the U.S. Geological Survey*, 1(4), pp. 421–429.
- Hakimi Asiabar, S., & Bagheriyan, S. (2018). *Exhumation of the Deylaman fault trend and its effects on the deformation style of the western Alborz belt in Iran*. International Journal of Earth Sciences, 107(2), pp. 539-551.
- Horton, R.E. (19450). *Erosional development of streams and their drainage basins: hydrophysical approach to quantitative morphology*. Geological Society of America Bulletin, 56(3), pp. 275- 370.
- Keller, E.A. (1986). *Investigation of active tectonics: use of surficial Earth processes, Active Tectonics, Studies in Geophysics*. National Academy Press, Washington, DC, pp. 136-147.
- Keller, E.A., & Pinter, N. (2002). *Active Tectonics: Earthquakes, Uplift, and Landscape* (2ndEd.). Prentice Hall, New Jersey, pp. 362.
- Maathuis, B.H.P., & Wang, L. (2006). *Digital elevation model based hydro-processing*. Geocarto International, 21(1), pp. 21-26.
- Mayer, L. (1990). *Introduction to quantitative geomorphology: an exercise manual*. Prentice-Hall International, Inc, pp. 271.
- Melosh, B.L., & Keller, E.A. (2013). *Effects of active folding and reverse faulting on stream channel evolution, Santa Barbara Fold Belt, California*. Journal of Geomorphology, 186(6), pp. 119-135.
- Ngapna, M.N., Owona, S., Owono, F.M., Ateba, C.B., Tsimi, V.M., Ondo, J.M., Ekodeck, G.E. (2020). *Assessment of relative active tectonics in Edea-Eseka region (SW Cameroon, Central Africa)*. Journal of African Earth Sciences, 164(5), pp. 103798.
- Singh, O.M. (2009). *Hypsometry and erosion proneness: a case study in the lesser Himalayan Watersheds*. Journal of Soil and Water conservation, 8(2), pp. 53- 59.
- Singh, P., Gupta, A., Singh, M. (2014). *Hydrological inferences from watershed analysis for water resource management using remote sensing and GIS techniques*. The Egyptian Journal of Remote Sensing and Space Sciences, 17(2), pp. 111- 121.

- Strahler, A.N. (1952). *Hypsometric (area–altitude) analysis of erosional topography*. Geological Society of America Bulletin, 63(11), pp. 1117–1142.
- Strahler, A.N. (1964). *Quantitative geomorphology of drainage basins and channel networks*. Handbook of Applied Hydrology, McGraw-Hill, New York, pp. 4-39.
- Walker, R.T. (2006). *A remote sensing study of active folding and faulting in southern Kerman province, S.E. Iran*. Journal of Structural Geology, 28(4), pp. 654-666.